

パワーエレトクロニクス

(舟木担当分)

第三回
サイリスタ位相制御回路
逆変換動作

平成22年6月21日月曜日 3限目

位相制御单相全波整流回路

- 誘導負荷

- 導通期間(点弧角 α , 消弧角 β)

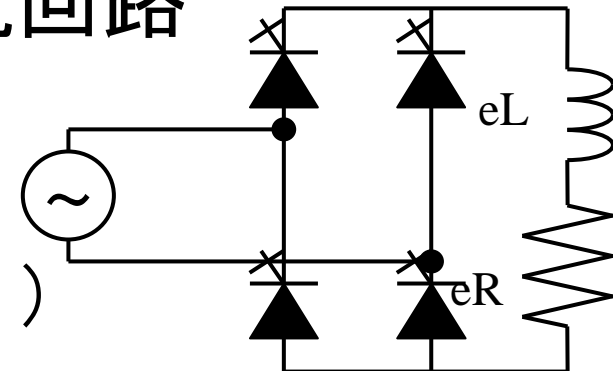
- $\alpha \sim \beta$ (正の半波について)
 - $\pi + \alpha \sim \pi + \beta$ (負の半波について)
 - $\beta >= \pi + \alpha$ となる時に連續導通となる
 - » この時, 正の半波の導通期間は $\alpha \sim \pi + \alpha$
 - » ダイオードでは常に連續導通
 - 連續導通と不連續導通の境界を求める
 - オン状態の微分方程式(正の半波)

$$v = e_L + e_R = L \frac{d}{dt} i_d + R i_d$$

- オン時点の初期値

$$v_0 = V \sin \alpha$$

- 連續導通 $i_0 = i(\alpha) = i(\beta) = i(\alpha + \pi)$



位相制御単相全波整流回路

- 誘導負荷に対する連續導通の厳密解

- オン状態の微分方程式(正の半波)

$$v = e_L + e_R = L \frac{d}{dt} i_d + R i_d$$

- オン時点の初期値

$$\begin{aligned} v_0 &= V \sin \alpha \\ i_0 &\neq 0 \end{aligned}$$

- ラプラス変換

$$V \frac{\omega \cos \alpha + s \sin \alpha}{s^2 + \omega^2} = L s I_d - L i_0 + R I_d$$

$$I_d = V \frac{\omega \cos \alpha + s \sin \alpha}{s^2 + \omega^2} \frac{1}{L s + R} + \frac{L i_0}{L s + R}$$

位相制御単相全波整流回路

- 誘導負荷に対する連続導通の厳密解
 - 出力電流波形を求める

$$I_d = \frac{V}{R^2 + \omega^2 L^2} \left(\frac{(R \cos \alpha + \omega L \sin \alpha) \omega + (R \sin \alpha - \omega L \cos \alpha) s}{s^2 + \omega^2} - \frac{R \sin \alpha - \omega L \cos \alpha}{s + \frac{R}{L}} \right) + \frac{i_0}{s + \frac{R}{L}}$$

- 逆変換

$$\begin{aligned} i_d(t) = & \frac{V}{R^2 + \omega^2 L^2} \left[(R \cos \alpha + \omega L \sin \alpha) \sin \omega t + (R \sin \alpha - \omega L \cos \alpha) \cos \omega t \right. \\ & \left. - (R \sin \alpha - \omega L \cos \alpha) \exp\left(-\frac{R}{L}t\right) \right] + i_0 \exp\left(-\frac{R}{L}t\right) \end{aligned}$$

- 時間の原点を元に戻して

$$\begin{aligned} i_d(\omega t) = & \frac{V}{R^2 + \omega^2 L^2} \left[(R \cos \alpha + \omega L \sin \alpha) \sin \{\omega t - \alpha\} + (R \sin \alpha - \omega L \cos \alpha) \cos \{\omega t - \alpha\} \right. \\ & \left. - (R \sin \alpha - \omega L \cos \alpha) \exp\left(-\frac{R}{\omega L}\{\omega t - \alpha\}\right) \right] + i_0 \exp\left(-\frac{R}{\omega L}\{\omega t - \alpha\}\right) \end{aligned}$$

位相制御単相全波整流回路

- 誘導負荷に対する連続導通の厳密解
 - 連続導通の時の電流初期値

$$\begin{aligned} i_d(\pi + \alpha) &= \frac{V}{R^2 + \omega^2 L^2} [(R \cos \alpha + \omega L \sin \alpha) \sin \{\pi + \alpha - \alpha\} + (R \sin \alpha - \omega L \cos \alpha) \cos \{\pi + \alpha - \alpha\} \\ &\quad - (R \sin \alpha - \omega L \cos \alpha) \exp(-\frac{R}{\omega L} \{\pi + \alpha - \alpha\})] + i_0 \exp(-\frac{R}{\omega L} \{\pi + \alpha - \alpha\}) \\ &= \frac{V}{R^2 + \omega^2 L^2} [(R \cos \alpha + \omega L \sin \alpha) \sin \pi + (R \sin \alpha - \omega L \cos \alpha) \cos \pi \\ &\quad - (R \sin \alpha - \omega L \cos \alpha) \exp(-\frac{R}{\omega L} \pi)] + i_0 \exp(-\frac{R}{\omega L} \pi) \\ &= \frac{V}{R^2 + \omega^2 L^2} [-(R \sin \alpha - \omega L \cos \alpha) - (R \sin \alpha - \omega L \cos \alpha) \exp(-\frac{R}{\omega L} \pi)] + i_0 \exp(-\frac{R}{\omega L} \pi) \\ &= \frac{V}{R^2 + \omega^2 L^2} (-R \sin \alpha + \omega L \cos \alpha) [\exp(-\frac{R}{\omega L} \pi) + 1] + i_0 \exp(-\frac{R}{\omega L} \pi) \\ &= i_0 \end{aligned}$$

よって $i_0 [1 - \exp(-\frac{R}{\omega L} \pi)] = \frac{V}{R^2 + \omega^2 L^2} (-R \sin \alpha + \omega L \cos \alpha) [1 + \exp(-\frac{R}{\omega L} \pi)]$

$$i_0 = \frac{V}{R^2 + \omega^2 L^2} (-R \sin \alpha + \omega L \cos \alpha) \frac{1 + \exp(-\frac{R}{\omega L} \pi)}{1 - \exp(-\frac{R}{\omega L} \pi)}$$

点弧角 α が大きくなると、電流初期値も小さくなる

位相制御單相全波整流回路

- 連續導通 $i_0 = \frac{V}{R^2 + \omega^2 L^2} \left(-R \sin \alpha + \omega L \cos \alpha \right) \frac{1 + \exp\left(-\frac{R}{\omega L} \pi\right)}{1 - \exp\left(-\frac{R}{\omega L} \pi\right)} > 0$

$$\omega L \cos \alpha > R \sin \alpha$$

$$\frac{\omega L}{R} > \frac{\sin \alpha}{\cos \alpha}$$

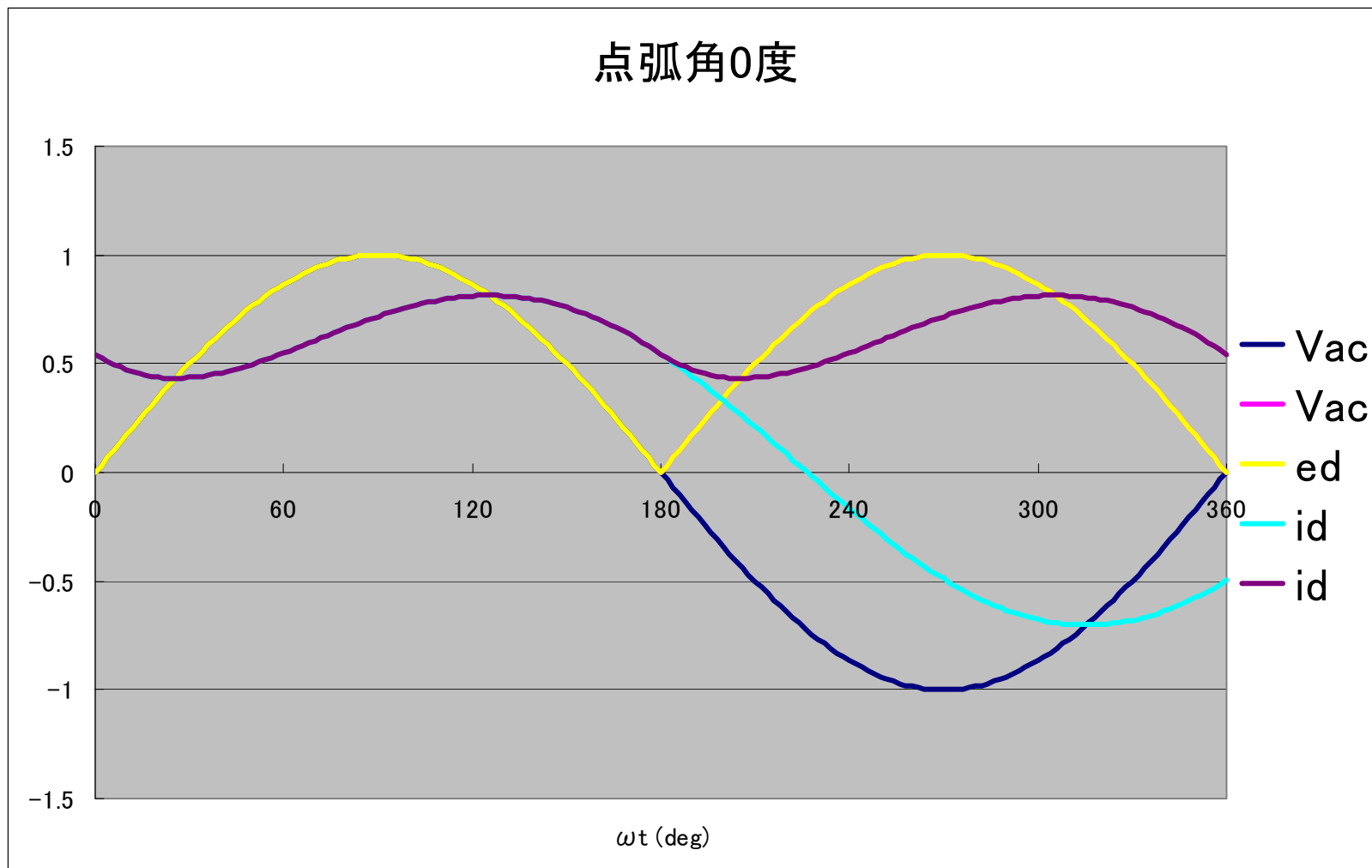
$$\tan \alpha < \frac{\omega L}{R}$$

位相制御単相全波整流回路

- 誘導性負荷
 - 出力電流波形を求める
 - 連続導通となつたときの動作
 - Th1, Th1'が導通している状態で, Th2, Th2'に点弧パルスを与える
 - » Th2, Th2'が導通すると, Th1, Th1'と短絡回路形成
 - » 電源の内部インピーダンスがないと短絡電流発生
 - » Th1, Th1'が電源電圧で逆バイアスされターンオフ
 - » 電流連続の条件より, Th1, Th1'に流れていた電流がTh2, Th2'に移る → 転流
 - » サイリスタは自己消弧できず, 転流に電源電圧が必要となるので $0 \leq \alpha < \pi$ とする必要がある

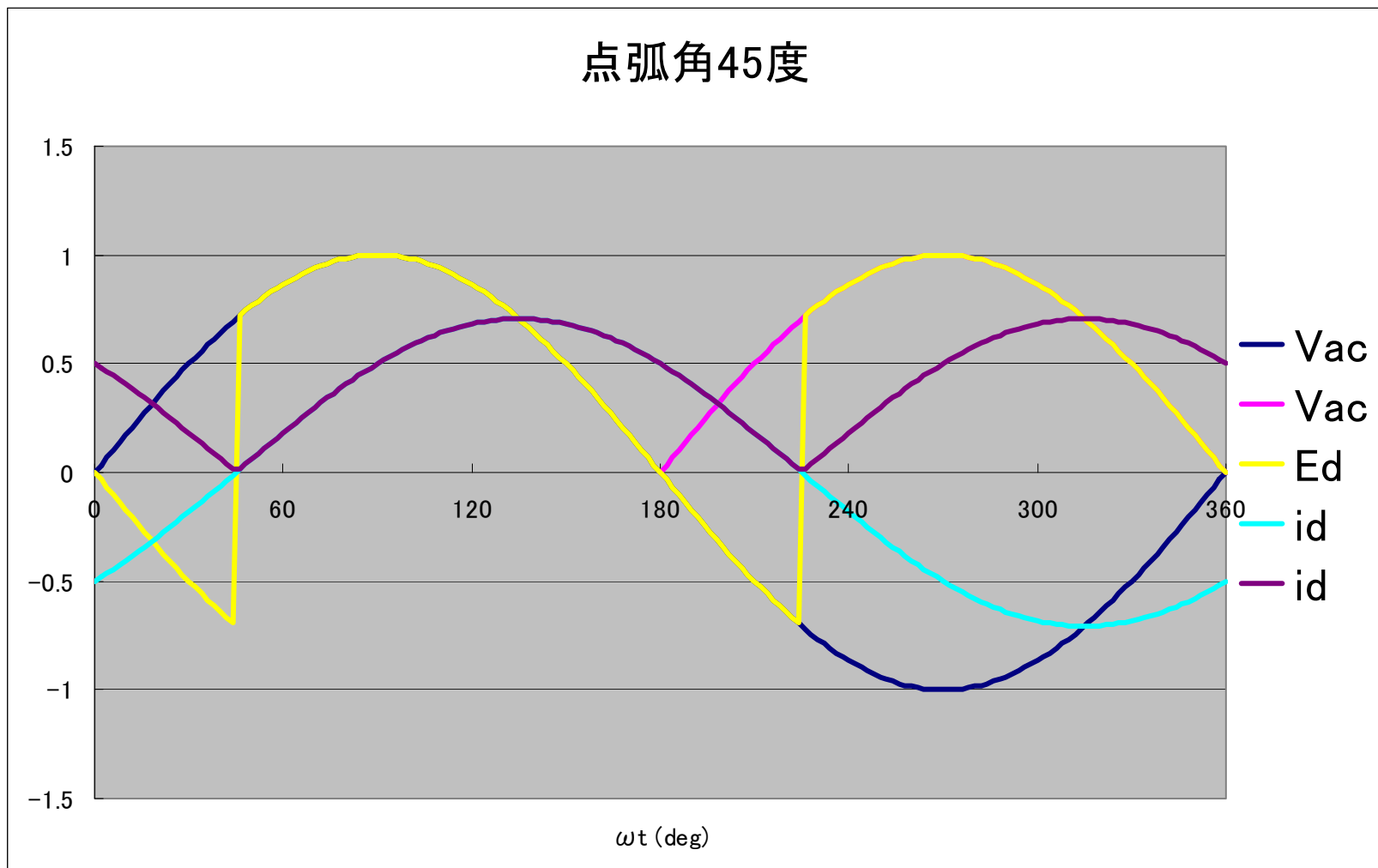
位相制御单相全波整流回路输出波形

誘導負荷 点弧角0度



位相制御单相全波整流回路输出波形

誘導負荷 点弧角45度



位相制御单相全波整流回路

- 誘導負荷に対する連續導通の厳密解
 - 直流出力電圧平均値

$$\begin{aligned} E_d &= \frac{1}{2\pi} \int_0^{2\pi} e_d d\omega t = \frac{1}{2\pi} \left\{ \int_0^\alpha -vd\omega t + \int_\alpha^{\pi+\alpha} vd\omega t + \int_{\pi+\alpha}^{2\pi} -vd\omega t \right\} \\ &= \frac{1}{\pi} \int_\alpha^{\pi+\alpha} V \sin \omega t d\omega t \\ &= \frac{V}{\pi} \left[-\cos \omega t \right]_\alpha^{\pi+\alpha} = \frac{V}{\pi} \left\{ -\cos(\pi + \alpha) + \cos \alpha \right\} \\ &= \frac{2V}{\pi} \cos \alpha \end{aligned}$$

$\frac{\pi}{2} < \alpha < \pi$ に対して $E_d < 0$ となるのか？

電流の符号は変わらないので、負になつたら逆変換？

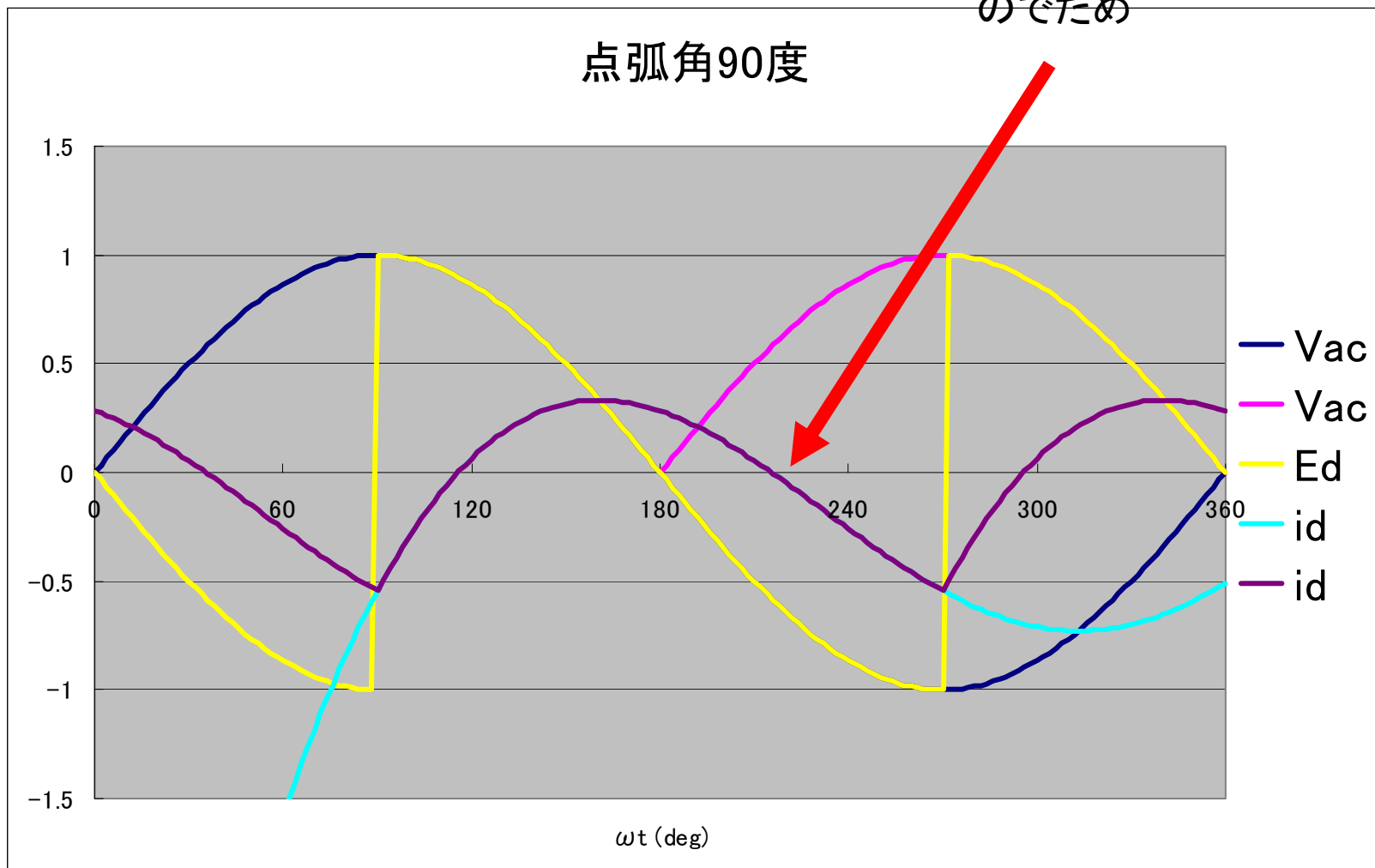
でも $\tan \alpha \leq \frac{\omega L}{R}$  $\alpha < \frac{\pi}{2}$ なので無理。不連続になる
11

位相制御单相全波整流回路输出波形

誘導負荷 点弧角90度

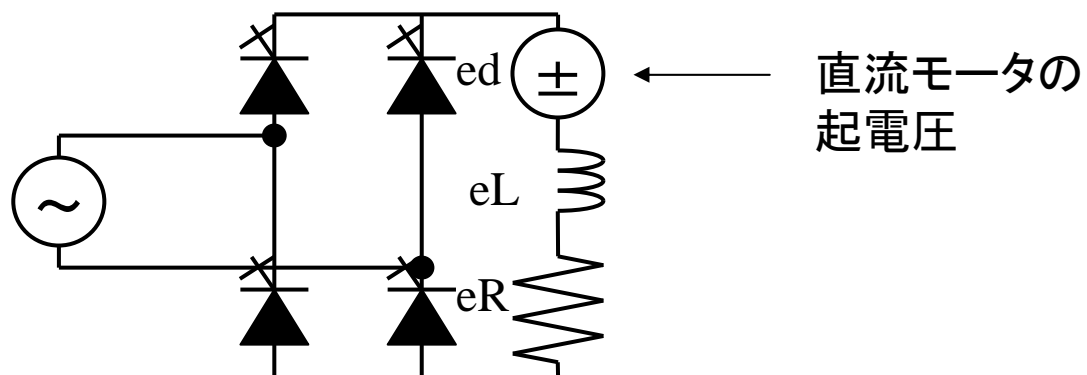
電流が負になっている
のでだめ

点弧角90度



位相制御单相全波整流回路

- 誘導負荷(直流電源付)
 - 逆変換動作を考える
 - 点弧角 $\frac{\pi}{2} < \alpha < \pi$ 直流输出力端子電圧が負になる $E_d < 0$
 - サイリスタの電流導通方向(符号)は一定なので、電力の符号が反転 → 逆変換
 - 直流側に電源が無い場合の制約 $\tan \alpha \leq \frac{\omega L}{R}$
 - 直流に電源を入れた場合
 - » そもそも直流側が受動部品だけでは逆変換不可能



位相制御単相全波整流回路

- 誘導負荷(直流電源付)の逆変換動作
 - 微分方程式(正の半波導通状態)

$$v = e_L + e_R + v_{dc} = L \frac{d}{dt} i_d + R i_d + v_{dc}$$

- オン時点の初期値

$$v_0 = V \sin \alpha$$

$$i_0 \neq 0$$

- ラプラス変換

$$V \frac{\omega \cos \alpha + s \sin \alpha}{s^2 + \omega^2} = L s I_d - L i_0 + R I_d + \frac{v_{dc}}{s}$$

$$I_d = V \frac{\omega \cos \alpha + s \sin \alpha}{s^2 + \omega^2} \frac{1}{Ls + R} + \frac{L i_0}{Ls + R} - \frac{v_{dc}}{s} \frac{1}{Ls + R}$$

位相制御单相全波整流回路

- 誘導性負荷(直流電源付)の逆変換動作
- 出力電流波形を求める

$$I_d = \frac{V}{R^2 + \omega^2 L^2} \left(\frac{(R \cos \alpha + \omega L \sin \alpha) \omega + (R \sin \alpha - \omega L \cos \alpha) s}{s^2 + \omega^2} - \frac{R \sin \alpha - \omega L \cos \alpha}{s + \frac{R}{L}} \right) + \frac{i_0}{s + \frac{R}{L}} - \frac{v_{dc}}{R} \left(\frac{1}{s} - \frac{1}{s + \frac{R}{L}} \right)$$

- 逆変換

$$\begin{aligned} i_d(t) = & \frac{V}{R^2 + \omega^2 L^2} \left[(R \cos \alpha + \omega L \sin \alpha) \sin \omega t + (R \sin \alpha - \omega L \cos \alpha) \cos \omega t \right. \\ & \left. - (R \sin \alpha - \omega L \cos \alpha) \exp\left(-\frac{R}{L}t\right) \right] + i_0 \exp\left(-\frac{R}{L}t\right) - \frac{v_{dc}}{R} \left[1 - \exp\left(-\frac{R}{L}t\right) \right] \end{aligned}$$

- 時間の原点を元に戻して

$$\begin{aligned} i_d(\omega t) = & \frac{V}{R^2 + \omega^2 L^2} \left[(R \cos \alpha + \omega L \sin \alpha) \sin\{\omega t - \alpha\} + (R \sin \alpha - \omega L \cos \alpha) \cos\{\omega t - \alpha\} \right. \\ & \left. - (R \sin \alpha - \omega L \cos \alpha) \exp\left(-\frac{R}{\omega L}\{\omega t - \alpha\}\right) \right] \\ & + i_0 \exp\left(-\frac{R}{\omega L}\{\omega t - \alpha\}\right) - \frac{v_{dc}}{R} \left[1 - \exp\left(-\frac{R}{\omega L}\{\omega t - \alpha\}\right) \right] \end{aligned}$$

位相制御単相全波整流回路

- 誘導性負荷(直流電源付)の逆変換動作
 - 連続導通の時の電流初期値

$$\begin{aligned}
 i_d(\pi + \alpha) &= \frac{V}{R^2 + \omega^2 L^2} \left[(-R \sin \alpha + \omega L \cos \alpha) \exp\left(-\frac{R}{\omega L} \{\pi + \alpha - \alpha\}\right) \right. \\
 &\quad \left. + (R \cos \alpha + \omega L \sin \alpha) \sin \{\pi + \alpha - \alpha\} + (R \sin \alpha - \omega L \cos \alpha) \cos \{\pi + \alpha - \alpha\} \right] \\
 &\quad + i_0 \exp\left(-\frac{R}{\omega L} \{\pi + \alpha - \alpha\}\right) - \frac{v_{dc}}{R} [1 - \exp\left(-\frac{R}{\omega L} \{\pi + \alpha - \alpha\}\right)] \\
 &= i_0 \exp\left(-\frac{R}{\omega L} \pi\right) - \frac{v_{dc}}{R} [1 - \exp\left(-\frac{R}{\omega L} \pi\right)] + \frac{V}{R^2 + \omega^2 L^2} \left[(-R \sin \alpha + \omega L \cos \alpha) \exp\left(-\frac{R}{\omega L} \pi\right) \right. \\
 &\quad \left. + (R \cos \alpha + \omega L \sin \alpha) \sin \pi + (R \sin \alpha - \omega L \cos \alpha) \cos \pi \right] \\
 &= i_0 \exp\left(-\frac{R}{\omega L} \pi\right) - \frac{v_{dc}}{R} [1 - \exp\left(-\frac{R}{\omega L} \pi\right)] + \frac{V}{R^2 + \omega^2 L^2} (-R \sin \alpha + \omega L \cos \alpha) [\exp\left(-\frac{R}{\omega L} \pi\right) + 1] \\
 &= i_0
 \end{aligned}$$

$$i_0 [1 - \exp\left(-\frac{R}{\omega L} \pi\right)] = -\frac{v_{dc}}{R} [1 - \exp\left(-\frac{R}{\omega L} \pi\right)] + \frac{V}{R^2 + \omega^2 L^2} (-R \sin \alpha + \omega L \cos \alpha) [\exp\left(-\frac{R}{\omega L} \pi\right) + 1]$$

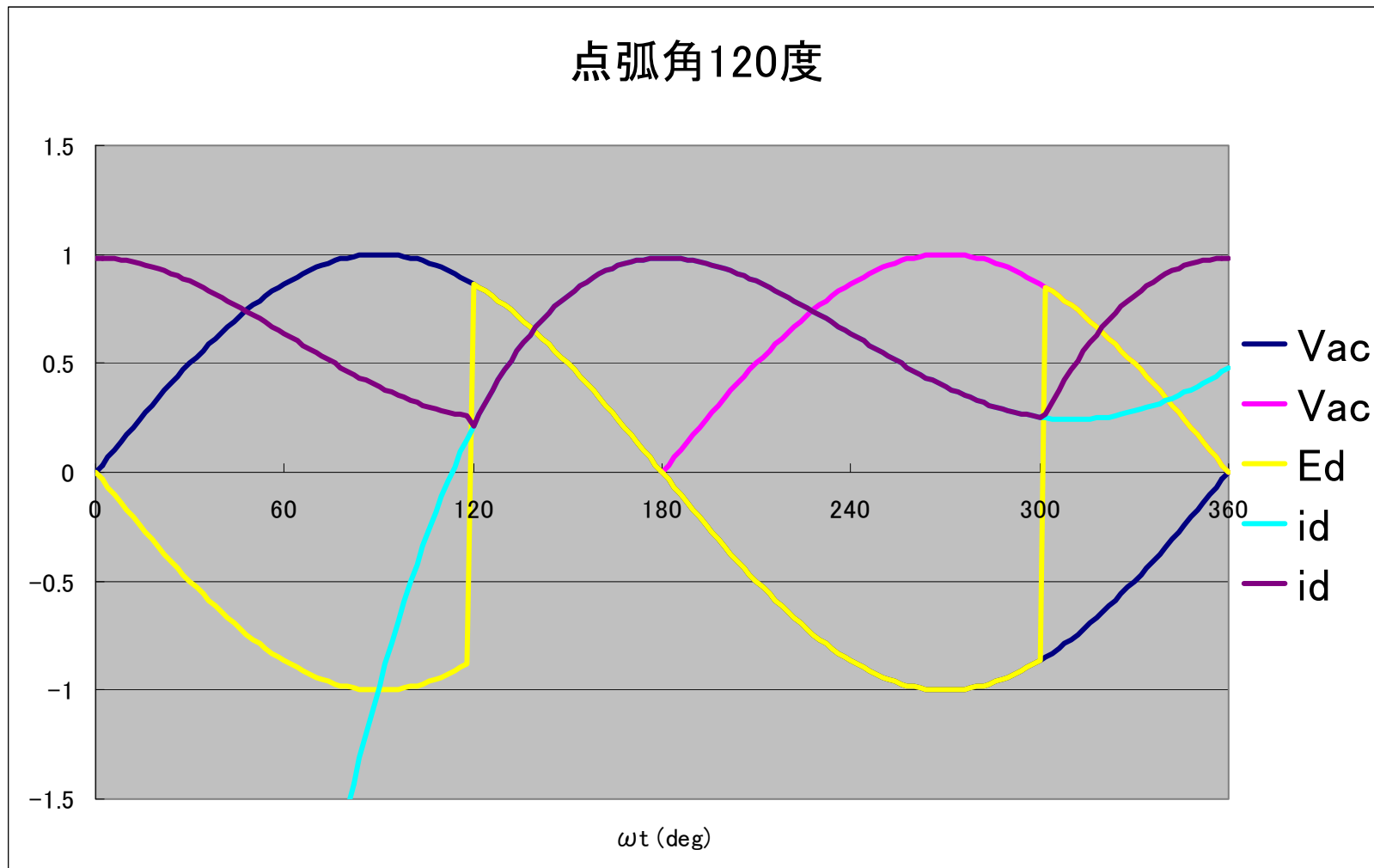
よって

$$i_0 = \frac{V}{R^2 + \omega^2 L^2} (-R \sin \alpha + \omega L \cos \alpha) \frac{1 + \exp\left(-\frac{R}{\omega L} \pi\right)}{1 - \exp\left(-\frac{R}{\omega L} \pi\right)} - \frac{v_{dc}}{R}$$

V_{dc} を負にすれば, $\tan \alpha \leq \frac{\omega L}{R}$ の制約を考えなくてよくなる

位相制御单相全波整流回路输出波形

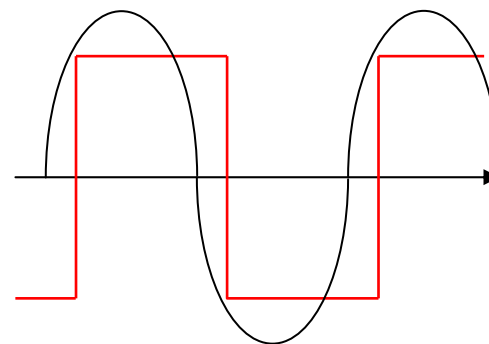
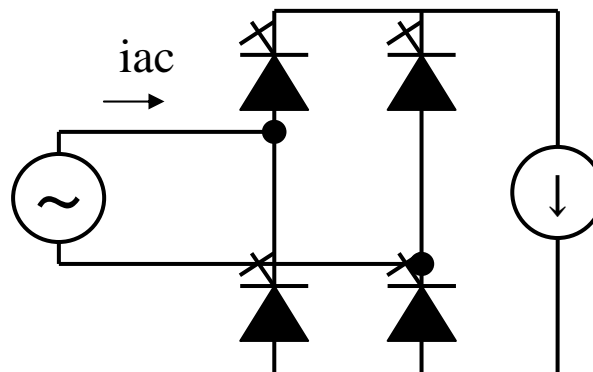
(直流電源付)の逆変換動作 点弧角120度



位相制御单相全波整流回路

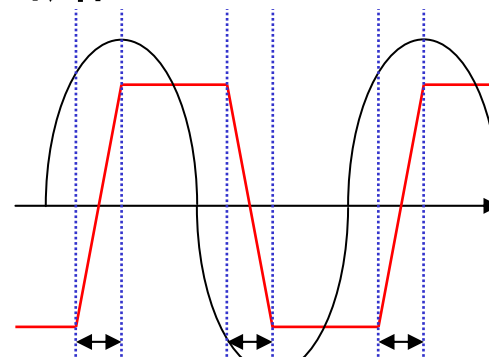
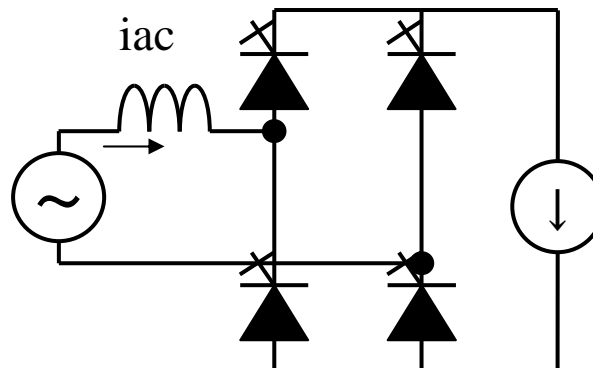
- 転流重なり角

- 電源インピーダンスを含まない回路



点弧時に交流電流は瞬時に反転

- 電源インピーダンスを含んだ回路



点弧時に交流電流は瞬時に反転できない

位相制御单相全波整流回路

- 転流重なり角
 - 交流電源の内部インピーダンスを考慮

- 簡略化のための仮定

- 転流期間中直流電流を一定

- 電源インピーダンスとしてリアクタンス成分のみ考える

- 転流期間をu

- 点弧により、交流側は短絡される

- 回路の微分方程式

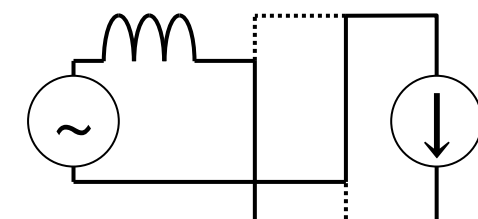
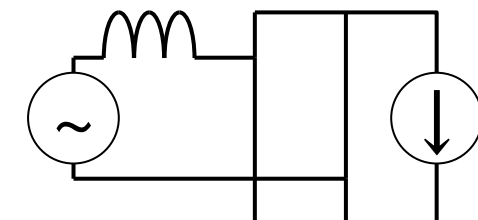
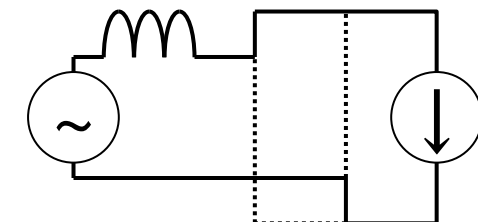
$$v = L_{ac} \frac{d}{dt} i_{ac}$$

$$v = V \sin \omega t$$

- 点弧時の初期値

$$v_0 = V \sin \alpha$$

$$i_0 = -I_{dc}$$



位相制御单相全波整流回路

- 転流重なり角
 - 交流電源の内部インピーダンスを考慮
 - 転流終了時(終端値)

$$v_{end} = V \sin(\alpha + u)$$

$$i_{end} = I_{dc}$$

- ラプラス変換 時間の原点t=0を $\omega t = \alpha$ に移動

$$V \frac{\omega \cos \alpha + s \sin \alpha}{s^2 + \omega^2} = L_{ac} s I_{ac} + L_{ac} I_{dc}$$

$$I_{ac} = \frac{1}{s L_{ac}} \left(V \frac{\omega \cos \alpha + s \sin \alpha}{s^2 + \omega^2} - L_{ac} I_{dc} \right)$$

$$= \frac{V}{L_{ac}} \frac{\omega \cos \alpha + s \sin \alpha}{s(s^2 + \omega^2)} - \frac{I_{dc}}{s}$$

$$\frac{1}{s} \frac{\omega \cos \alpha + s \sin \alpha}{s^2 + \omega^2} = \frac{a}{s} + \frac{bs + c\omega}{s^2 + \omega^2}$$



$$\begin{cases} a = \frac{\cos \alpha}{\omega} \\ b = -\frac{\cos \alpha}{\omega} \\ c = \frac{\sin \alpha}{\omega} \end{cases}$$

位相制御単相全波整流回路

- 転流重なり角
 - 交流電源の内部インピーダンスを考慮

$$I_{ac} = \frac{V}{\omega L_{ac}} \left(\cos \alpha \frac{1}{s} + \frac{1}{\omega} \frac{-s \cos \alpha + \omega \sin \alpha}{s^2 + \omega^2} \right) - \frac{I_{dc}}{s}$$

- 逆変換

$$i_{ac}(t) = \frac{V}{\omega L_{ac}} (\cos \alpha + \sin \alpha \sin \omega t - \cos \alpha \cos \omega t) - I_{dc}$$

- 時間の原点をもとにもどす

$$i_{ac}(t) = \frac{V}{\omega L_{ac}} [\cos \alpha + \sin \alpha \sin(\omega t - \alpha) - \cos \alpha \cos(\omega t - \alpha)] - I_{dc}$$

- 終端値の条件

$$\begin{aligned} i_{ac}\left(\frac{\alpha+u}{\omega}\right) &= \frac{V}{\omega L_{ac}} [\cos \alpha + \sin \alpha \sin(\alpha + u - \alpha) - \cos \alpha \cos(\alpha + u - \alpha)] - I_{dc} \\ &= \frac{V}{\omega L_{ac}} [\cos \alpha + \sin \alpha \sin u - \cos \alpha \cos u] - I_{dc} \\ &= \boxed{\frac{V}{\omega L_{ac}} [\cos \alpha - \cos(\alpha + u)] - I_{dc} = I_{dc}} \end{aligned}$$

位相制御单相全波整流回路

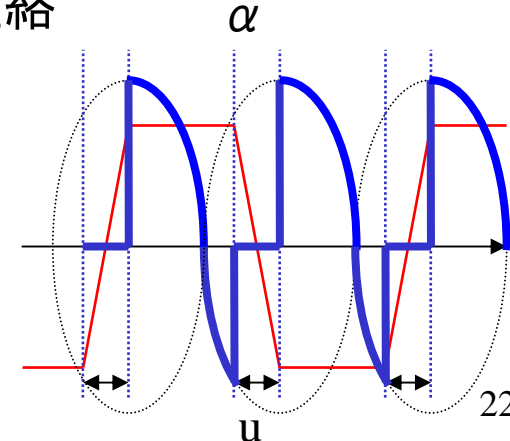
- 転流重なり角
 - 交流電源の内部インピーダンスを考慮
 - 転流重なり角 u

$$\frac{V}{\omega L_{ac}} [\cos \alpha - \cos(\alpha + u)] = 2I_{dc}$$

$$\cos(\alpha + u) = \cos \alpha - 2 \frac{\omega L_{ac} I_{dc}}{V}$$

$$u = \arccos\left(\cos \alpha - 2 \frac{\omega L_{ac} I_{dc}}{V}\right) - \alpha$$

- 転流重なり期間中は交流回路短絡
 - » 直流出力端子電圧 $\rightarrow 0$
- 直流出力端子電圧への影響



位相制御単相全波整流回路

- 誘導性負荷
 - 交流電源の内部インピーダンスによる転流重なり角 u を考慮

$$\begin{aligned} E_d &= \frac{1}{2\pi} \int_0^{2\pi} e_d d\omega t = \frac{1}{2\pi} \left\{ \int_0^{\alpha} -vd\omega t + \int_{\alpha}^{\alpha+u} 0d\omega t + \int_{\alpha+u}^{\pi+\alpha} vd\omega t + \int_{\pi+\alpha}^{\pi+\alpha+u} 0d\omega t + \int_{\pi+\alpha+u}^{2\pi} -vd\omega t \right\} \\ &= \frac{1}{\pi} \int_{\alpha+u}^{\pi+\alpha} V \sin \omega t d\omega t = \boxed{\frac{V}{\pi} \left[-\cos \omega t \right]_{\alpha+u}^{\pi+\alpha}} = \frac{V}{\pi} \left\{ -\cos(\pi + \alpha) + \cos(\alpha + u) \right\} \\ &= \frac{V}{\pi} \left\{ \cos \alpha + \cos \alpha - 2 \frac{\omega L_{ac} I_{dc}}{V} \right\} \\ &= \frac{V}{\pi} \left\{ 2 \cos \alpha - 2 \frac{\omega L_{ac} I_{dc}}{V} \right\} \\ &= \boxed{\frac{V}{\pi} \cos \alpha - \frac{2\omega L_{ac}}{\pi} I_{dc}} \end{aligned}$$

電源インピーダンスにより出力直流電圧は $\frac{2\omega L_{ac}}{\pi} I_{dc}$ 低下する

転流インピーダンス(リアクタンス)降下という

位相制御三相全波整流回路

- 抵抗負荷

- 負荷には線間電圧が印加される

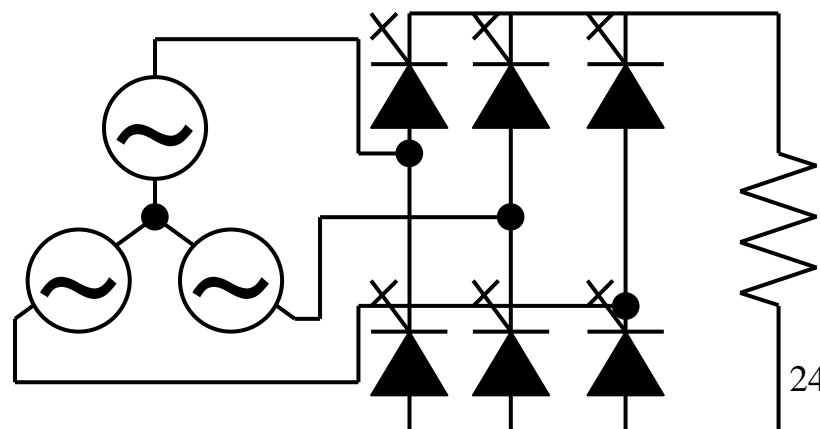
- 相電圧

- 三相平衡

- 線間電圧

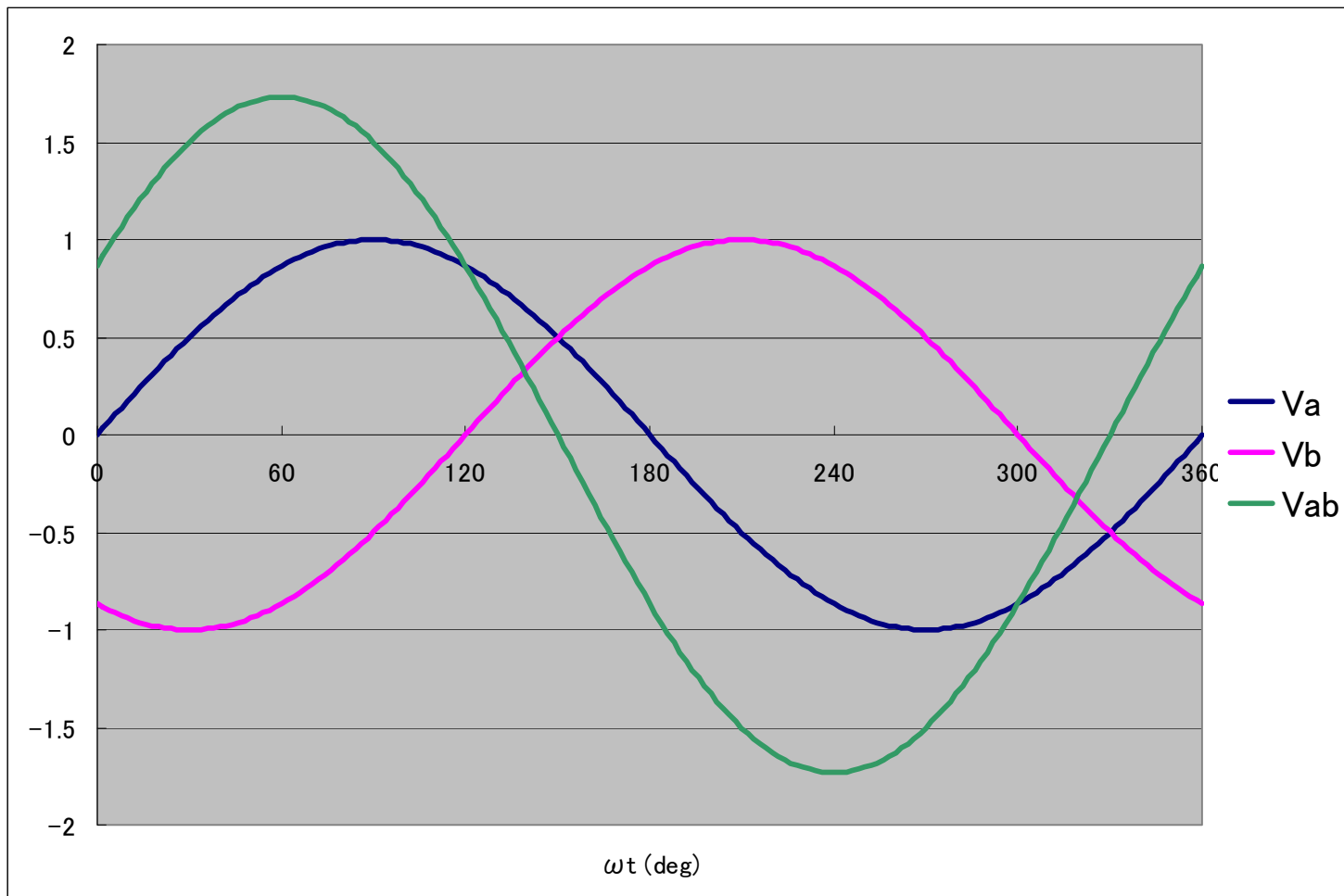
$$\begin{cases} v_a = V \sin \omega t \\ v_b = V \sin(\omega t - \frac{2}{3}\pi) \\ v_c = V \sin(\omega t + \frac{2}{3}\pi) \end{cases}$$

$$\begin{cases} v_{ab} = v_a - v_b = V \left\{ \sin \omega t - \sin \left(\omega t - \frac{2}{3}\pi \right) \right\} = \sqrt{3}V \sin \left(\omega t + \frac{\pi}{6} \right) \\ v_{bc} = v_b - v_c = V \left\{ \sin \left(\omega t - \frac{2}{3}\pi \right) - \sin \left(\omega t + \frac{2}{3}\pi \right) \right\} = \sqrt{3}V \sin \left(\omega t - \frac{\pi}{2} \right) \\ v_{ca} = v_c - v_a = V \left\{ \sin \left(\omega t + \frac{2}{3}\pi \right) - \sin \left(\omega t - \frac{2}{3}\pi \right) \right\} = \sqrt{3}V \sin \left(\omega t + \frac{5}{6}\pi \right) \\ v_{ba} = -v_{ab} = \sqrt{3}V \sin \left(\omega t - \frac{5}{6}\pi \right) \\ v_{cb} = -v_{bc} = \sqrt{3}V \sin \left(\omega t + \frac{\pi}{2} \right) \\ v_{ac} = -v_{ca} = \sqrt{3}V \sin \left(\omega t - \frac{\pi}{6} \right) \end{cases}$$



位相制御三相全波整流回路

- 抵抗負荷
 - 負荷には線間電圧が印加される

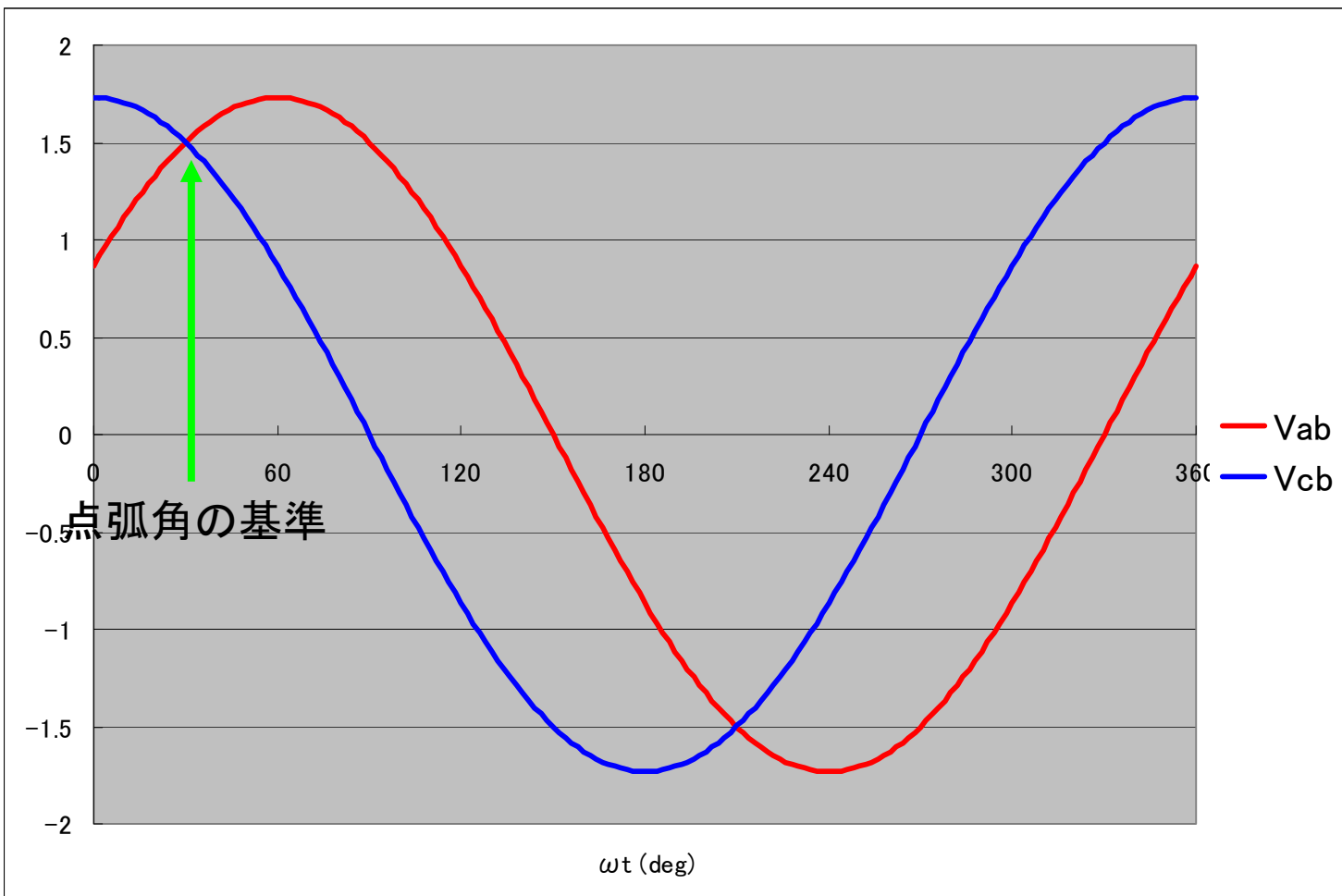


位相制御三相全波整流回路

- 抵抗負荷

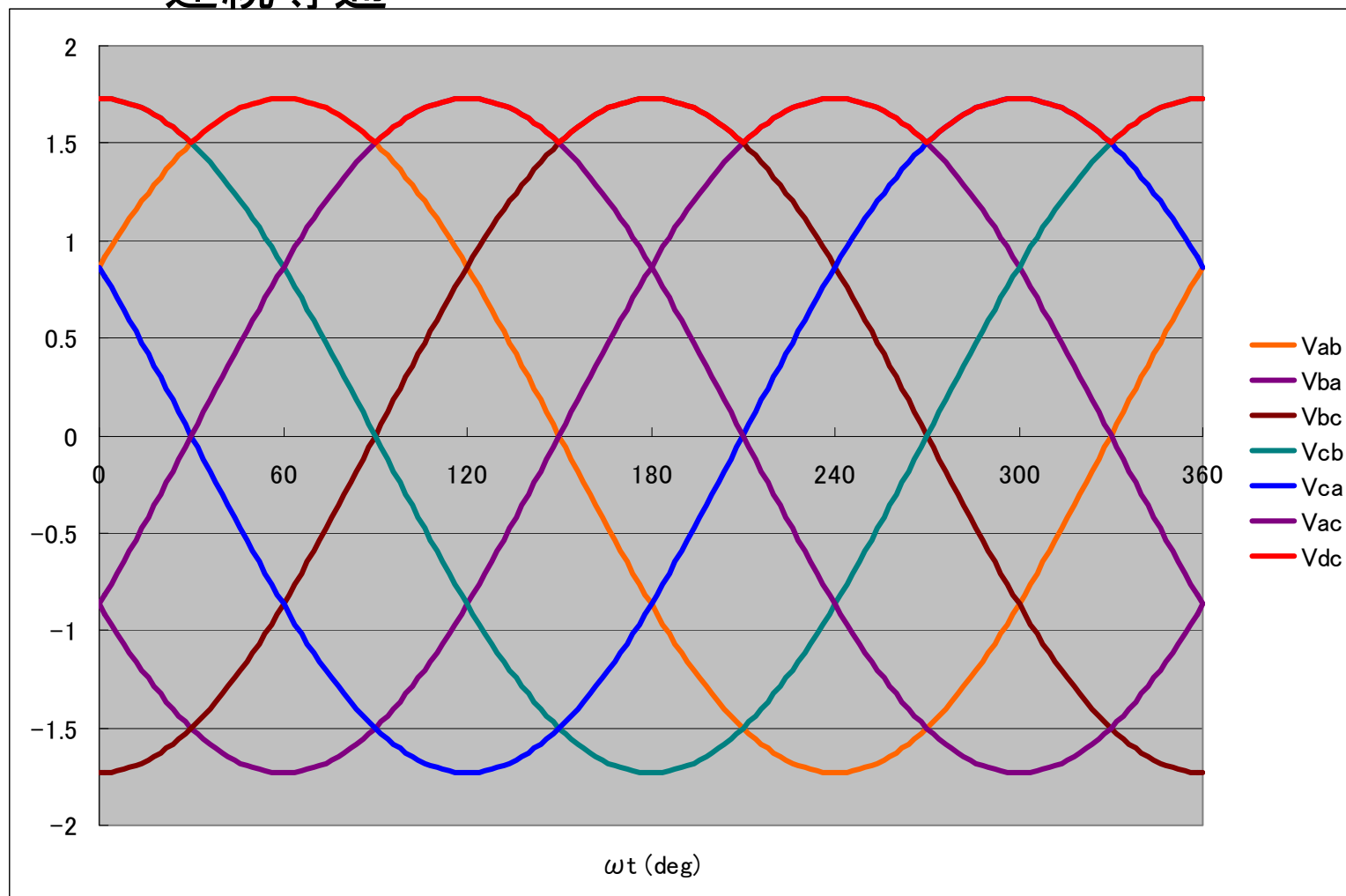
- 点弧角

- 線間電圧の零クロス点を基準($0 < \alpha < \pi$)



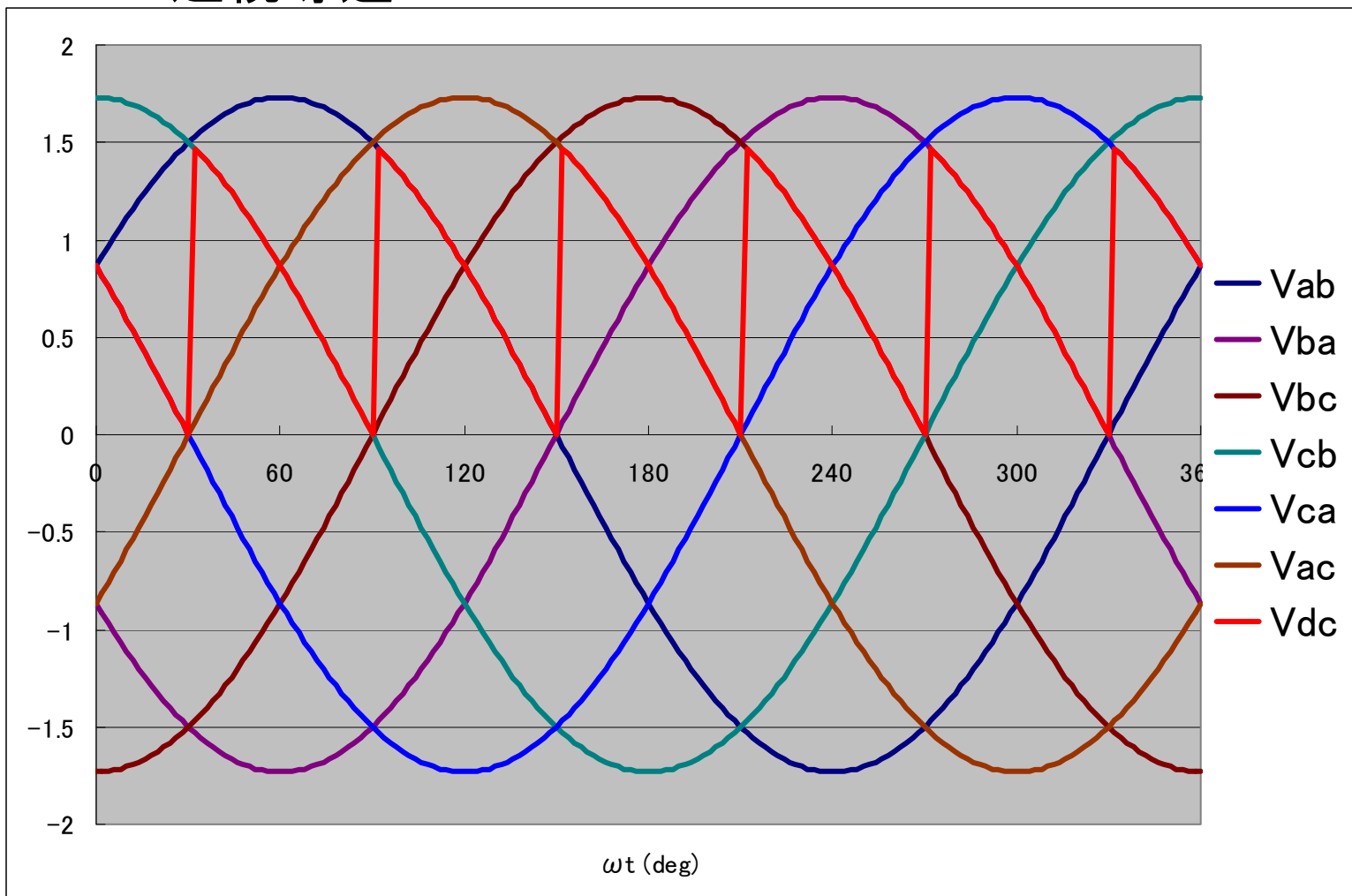
位相制御三相全波整流回路

- 抵抗負荷
 - 点弧角 $\alpha = 0$ 度(ダイオード整流回路と同じ)
 - 連続導通 ゲート信号は1/6周期毎



位相制御三相全波整流回路

- 抵抗負荷
 - 点弧角 $\alpha = 60$ 度
 - 連續導通



位相制御三相全波整流回路

- 抵抗負荷

- 点弧範囲

- $0 \leq \alpha < 120$

- $0 \leq \alpha < 180$ 度の間 $V_{ab} > V_{cb}$ である

- $120 < \alpha$ で $V_{ab} < 0$ となる

- » 逆バイアスとなるので点弧できない

- 連続導通範囲

- $0 \leq \alpha \leq 60$

- 不連続導通範囲

- $60 \leq \alpha < 120$

- 单相全波回路の場合

- 点弧範囲

- $0 \leq \alpha < 180$

- 連続導通範囲

- » $0 = \alpha$

位相制御三相全波整流回路

- 抵抗負荷

- 直流平均出力電圧

- 連続導通の範囲 ($0 \leq \alpha \leq 60$)

$$\begin{aligned} E_d &= \frac{1}{2\pi} \int_0^{2\pi} e_d d\omega t \\ &= \frac{1}{2\pi} \left[\int_0^{\frac{\pi}{6}+\alpha} v_{cb} d\omega t + \int_{\frac{\pi}{6}+\alpha}^{\frac{\pi}{2}+\alpha} v_{ab} d\omega t + \int_{\frac{\pi}{2}+\alpha}^{\frac{5\pi}{6}+\alpha} v_{ac} d\omega t \right. \\ &\quad \left. + \int_{\frac{5\pi}{6}+\alpha}^{\frac{7\pi}{6}+\alpha} v_{bc} d\omega t + \int_{\frac{7\pi}{6}+\alpha}^{\frac{3\pi}{2}+\alpha} v_{ba} d\omega t + \int_{\frac{3\pi}{2}+\alpha}^{\frac{11\pi}{6}+\alpha} v_{ca} d\omega t + \int_{\frac{11\pi}{6}+\alpha}^{2\pi} v_{cb} d\omega t \right] \\ &= \frac{6}{2\pi} \int_{\frac{\pi}{6}+\alpha}^{\frac{\pi}{2}+\alpha} \sqrt{3}V \sin\left(\omega t + \frac{\pi}{6}\right) d\omega t \\ &= \frac{3\sqrt{3}V}{\pi} \left[-\cos\left(\omega t + \frac{\pi}{6}\right) \right]_{\frac{\pi}{6}+\alpha}^{\frac{\pi}{2}+\alpha} \\ &= \frac{3\sqrt{3}V}{\pi} \left[-\cos\left(\frac{\pi}{2} + \alpha + \frac{\pi}{6}\right) + \cos\left(\frac{\pi}{6} + \alpha + \frac{\pi}{6}\right) \right] \\ &= \frac{3\sqrt{3}V}{\pi} \cos \alpha \end{aligned}$$

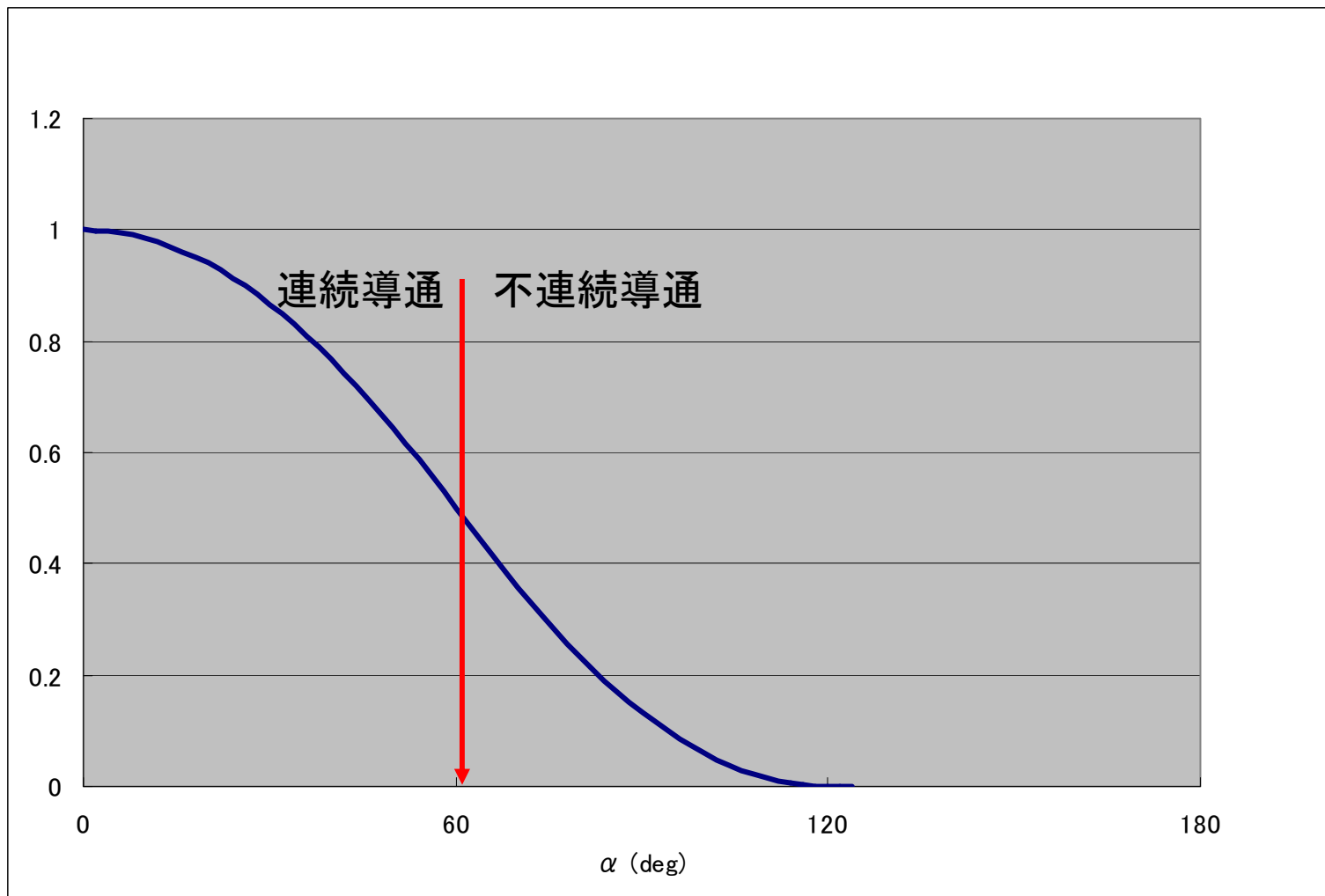
位相制御三相全波整流回路

- 抵抗負荷
 - 直流平均出力電圧
 - 不連続導通の範囲($60 \leq \alpha < 120$)

$$\begin{aligned} E_d &= \frac{1}{2\pi} \int_0^{2\pi} e_d d\omega t \\ &= \frac{1}{2\pi} \left[\int_0^{\frac{\pi}{2}} v_{cb} d\omega t + \int_{\frac{\pi}{6}+\alpha}^{\frac{5\pi}{6}} v_{ab} d\omega t + \int_{\frac{\pi}{2}+\alpha}^{\frac{3\pi}{2}} v_{ac} d\omega t \right. \\ &\quad \left. + \int_{\frac{5\pi}{6}+\alpha}^{\frac{11\pi}{6}} v_{bc} d\omega t + \int_{\frac{7\pi}{6}+\alpha}^{\frac{13\pi}{6}} v_{ba} d\omega t + \int_{\frac{3\pi}{2}+\alpha}^{\frac{5\pi}{2}} v_{ca} d\omega t + \int_{\frac{11\pi}{6}+\alpha}^{2\pi} v_{cb} d\omega t \right] \\ &= \frac{6}{2\pi} \int_{\frac{\pi}{6}+\alpha}^{\frac{5\pi}{6}} \sqrt{3}V \sin\left(\omega t + \frac{\pi}{6}\right) d\omega t \\ &= \frac{3\sqrt{3}V}{\pi} \left[-\cos\left(\omega t + \frac{\pi}{6}\right) \right]_{\frac{\pi}{6}+\alpha}^{\frac{5\pi}{6}} \\ &= \frac{3\sqrt{3}V}{\pi} \left[-\cos\left(\frac{5\pi}{6} + \frac{\pi}{6}\right) + \cos\left(\frac{\pi}{6} + \alpha + \frac{\pi}{6}\right) \right] \\ &= \frac{3\sqrt{3}V}{\pi} \left[1 + \cos\left(\frac{\pi}{3} + \alpha\right) \right] \end{aligned}$$

位相制御三相全波整流回路

- 抵抗負荷
 - 直流平均出力電圧の点弧角特性



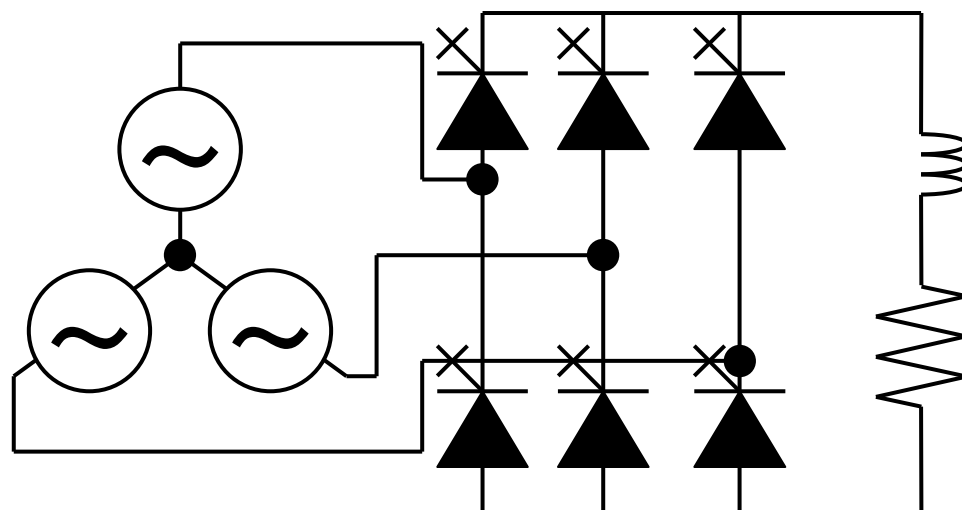
位相制御三相全波整流回路

- 誘導性負荷

- 負荷には線間電圧が印加される
(直流出力端子には線間電圧が出力される)

相電圧

$$\begin{cases} v_a = V \sin \omega t \\ v_b = V \sin(\omega t - \frac{2}{3}\pi) \\ v_c = V \sin(\omega t + \frac{2}{3}\pi) \end{cases}$$



線間電圧

$$\begin{cases} v_{ab} = \sqrt{3}V \sin\left(\omega t + \frac{\pi}{6}\right) \\ v_{bc} = \sqrt{3}V \sin\left(\omega t - \frac{\pi}{2}\right) \\ v_{ca} = \sqrt{3}V \sin\left(\omega t + \frac{5}{6}\pi\right) \\ v_{ba} = \sqrt{3}V \sin\left(\omega t - \frac{5}{6}\pi\right) \\ v_{cb} = \sqrt{3}V \sin\left(\omega t + \frac{\pi}{2}\right) \\ v_{ac} = \sqrt{3}V \sin\left(\omega t - \frac{\pi}{6}\right) \end{cases}$$

位相制御三相全波整流回路

- 誘導性負荷

- 出力電圧・電流の振る舞い

- サイリスタの導通期間中、出力される三相交流の線間電圧はL,Rが分担

- 負荷電圧

- » 導通期間中 $e_d = e_L + e_R = v_{xx}$

いづれかの
線間電圧

- » 非導通期間中 $e_d = e_L + e_R = 0$

- Lの印加電圧

$$e_L = L \frac{d}{dt} i_d$$

- Rの印加電圧

$$e_R = R i_d$$

- サイリスタの印加電圧

- » 導通期間中 $e_{th} = 0$

通電電流が0以下になるまで導通を継続

- » 非導通期間中 $e_{th} = \text{線間電圧を分圧したもの}$

位相制御三相全波整流回路

- 誘導性負荷
 - 出力電流波形(周期定常状態)を求める
 - 点弧角を α とする(線間電圧の零クロス点を基準)
 - 点弧可能な範囲は?
 - » 抵抗負荷のとき $0 \leq \alpha < 120 \text{ deg}$

- サイリスタがオン状態の微分方程式

$$v_{xx} = e_L + e_R = L \frac{d}{dt} i_d + R i_d$$

- オン時点の初期値

- » Th1がオンする時点を解析

- (1/6周期毎の対称波形)

- 点弧時点を時間の原点にとる $\omega t = \alpha + \frac{\pi}{6}$

$$v_0 = \sqrt{3}V \sin\left(\alpha + \frac{\pi}{6} + \frac{\pi}{6}\right)$$

$$i_0 \quad \text{連続導通なら } i_0 \neq 0$$

位相制御三相全波整流回路

- 誘導性負荷
 - 出力電流波形(周期定常状態)を求める
 - ラプラス変換(ab相線間電圧がオン)

$$\sqrt{3}V \sin\left(\omega t + \alpha + \frac{\pi}{3}\right) = L \frac{d}{dt} i_d + R i_d$$

$$\sqrt{3}V \frac{\omega \cos\left(\alpha + \frac{\pi}{3}\right) + s \sin\left(\alpha + \frac{\pi}{3}\right)}{s^2 + \omega^2} = L s I_d - L i_0 + R I_d$$

$$I_d = \sqrt{3}V \frac{\omega \cos\left(\alpha + \frac{\pi}{3}\right) + s \sin\left(\alpha + \frac{\pi}{3}\right)}{s^2 + \omega^2} \frac{1}{Ls + R} + \frac{L i_0}{Ls + R}$$

$$I_d = \frac{\sqrt{3}V}{R^2 + \omega^2 L^2} \left\{ \frac{[R \cos\left(\alpha + \frac{\pi}{3}\right) + \omega L \sin\left(\alpha + \frac{\pi}{3}\right)]\omega + [R \sin\left(\alpha + \frac{\pi}{3}\right) - \omega L \cos\left(\alpha + \frac{\pi}{3}\right)]s}{s^2 + \omega^2} - \frac{R \sin\left(\alpha + \frac{\pi}{3}\right) - \omega L \cos\left(\alpha + \frac{\pi}{3}\right)}{s + \frac{R}{L}} \right\} + \frac{i_0}{s + \frac{R}{L}}$$

位相制御三相全波整流回路

- 誘導性負荷
 - 出力電流波形を求める
 - 逆変換

$$i_d(\omega t) = \frac{\sqrt{3}V}{R^2 + \omega^2 L^2} \left\{ [R \cos(\alpha + \frac{\pi}{3}) + \omega L \sin(\alpha + \frac{\pi}{3})] \sin \omega t + [R \sin(\alpha + \frac{\pi}{3}) - \omega L \cos(\alpha + \frac{\pi}{3})] \cos \omega t - [R \sin(\alpha + \frac{\pi}{3}) - \omega L \cos(\alpha + \frac{\pi}{3})] \exp\left(-\frac{R}{L}t\right) \right\} + i_0 \exp\left(-\frac{R}{L}t\right)$$

- 時間の原点を元に戻して

$$i_d(\omega t) = \frac{V}{R^2 + \omega^2 L^2} \left\{ [R \cos(\alpha + \frac{\pi}{3}) + \omega L \sin(\alpha + \frac{\pi}{3})] \sin(\omega t - \alpha - \frac{\pi}{6}) + [R \sin(\alpha + \frac{\pi}{3}) - \omega L \cos(\alpha + \frac{\pi}{3})] \cos(\omega t - \alpha - \frac{\pi}{6}) - [R \sin(\alpha + \frac{\pi}{3}) - \omega L \cos(\alpha + \frac{\pi}{3})] \exp\left[-\frac{R}{\omega L}\left(\omega t - \alpha - \frac{\pi}{6}\right)\right] \right\} + i_0 \exp\left[-\frac{R}{\omega L}\left(\omega t - \alpha - \frac{\pi}{6}\right)\right]$$

位相制御三相全波整流回路

- 誘導性負荷

- 出力電流波形を求める

- Th1点弧時電流初期値と終端値(Th2の点弧時)

$$\begin{aligned} i_d\left(\alpha + \frac{\pi}{3} + \frac{\pi}{6}\right) &= \frac{V}{R^2 + \omega^2 L^2} \left\{ [R \cos(\alpha + \frac{\pi}{3}) + \omega L \sin(\alpha + \frac{\pi}{3})] \sin\left(\alpha + \frac{\pi}{3} + \frac{\pi}{6} - \alpha - \frac{\pi}{6}\right) \right. \\ &\quad + [R \sin(\alpha + \frac{\pi}{3}) - \omega L \cos(\alpha + \frac{\pi}{3})] \cos\left(\alpha + \frac{\pi}{3} + \frac{\pi}{6} - \alpha - \frac{\pi}{6}\right) \\ &\quad - [R \sin(\alpha + \frac{\pi}{3}) - \omega L \cos(\alpha + \frac{\pi}{3})] \exp\left[-\frac{R}{\omega L} \left(\alpha + \frac{\pi}{3} + \frac{\pi}{6} - \alpha - \frac{\pi}{6}\right)\right] \} \\ &\quad + i_0 \exp\left[-\frac{R}{\omega L} \left(\alpha + \frac{\pi}{3} + \frac{\pi}{6} - \alpha - \frac{\pi}{6}\right)\right] \\ &= \frac{V}{R^2 + \omega^2 L^2} \left\{ [R \cos(\alpha + \frac{\pi}{3}) + \omega L \sin(\alpha + \frac{\pi}{3})] \sin \frac{\pi}{3} \right. \\ &\quad + [R \sin(\alpha + \frac{\pi}{3}) - \omega L \cos(\alpha + \frac{\pi}{3})] \cos \frac{\pi}{3} \\ &\quad - [R \sin(\alpha + \frac{\pi}{3}) - \omega L \cos(\alpha + \frac{\pi}{3})] \exp\left(-\frac{R}{\omega L} \frac{\pi}{3}\right) \} \\ &\quad + i_0 \exp\left(-\frac{R}{\omega L} \frac{\pi}{3}\right) \\ &= i_0 \end{aligned}$$

位相制御三相全波整流回路

- 誘導性負荷

- 出力電流波形を求める

- Th1点弧時電流初期値と終端値(Th2の点弧時)

$$\begin{aligned} i_0 \left[1 - \exp\left(-\frac{R}{\omega L} \frac{\pi}{3}\right) \right] &= \frac{V}{R^2 + \omega^2 L^2} \left\{ \left[R \cos\left(\alpha + \frac{\pi}{3}\right) + \omega L \sin\left(\alpha + \frac{\pi}{3}\right) \right] \sin \frac{\pi}{3} \right. \\ &\quad + \left[R \sin\left(\alpha + \frac{\pi}{3}\right) - \omega L \cos\left(\alpha + \frac{\pi}{3}\right) \right] \cos \frac{\pi}{3} \\ &\quad \left. - \left[R \sin\left(\alpha + \frac{\pi}{3}\right) - \omega L \cos\left(\alpha + \frac{\pi}{3}\right) \right] \exp\left(-\frac{R}{\omega L} \frac{\pi}{3}\right) \right\} \\ &= \frac{V}{R^2 + \omega^2 L^2} \left\{ \left[R \cos\left(\alpha + \frac{\pi}{3}\right) + \omega L \sin\left(\alpha + \frac{\pi}{3}\right) \right] \sin \frac{\pi}{3} \right. \\ &\quad - \left[R \sin\left(\alpha + \frac{\pi}{3}\right) - \omega L \cos\left(\alpha + \frac{\pi}{3}\right) \right] \cos \frac{\pi}{3} \\ &\quad \left. + \left[R \sin\left(\alpha + \frac{\pi}{3}\right) - \omega L \cos\left(\alpha + \frac{\pi}{3}\right) \right] \left[1 - \exp\left(-\frac{R}{\omega L} \frac{\pi}{3}\right) \right] \right\} \\ &= \frac{V}{R^2 + \omega^2 L^2} \left\{ R \left[\cos\left(\alpha + \frac{\pi}{3}\right) \sin \frac{\pi}{3} - \sin\left(\alpha + \frac{\pi}{3}\right) \cos \frac{\pi}{3} \right] \right. \\ &\quad + \omega L \left[\sin\left(\alpha + \frac{\pi}{3}\right) \sin \frac{\pi}{3} + \cos\left(\alpha + \frac{\pi}{3}\right) \cos \frac{\pi}{3} \right] \\ &\quad \left. + \left[R \sin\left(\alpha + \frac{\pi}{3}\right) - \omega L \cos\left(\alpha + \frac{\pi}{3}\right) \right] \left[1 - \exp\left(-\frac{R}{\omega L} \frac{\pi}{3}\right) \right] \right\} \beta^9 \end{aligned}$$

位相制御三相全波整流回路

- 誘導性負荷

- 出力電流波形を求める

- Th1点弧時電流初期値と終端値(Th2の点弧時)

$$\begin{aligned} i_0 \left[1 - \exp\left(-\frac{R}{\omega L} \frac{\pi}{3}\right) \right] &= \frac{V}{R^2 + \omega^2 L^2} \left\{ -R \sin\left(\alpha + \frac{\pi}{3} - \frac{\pi}{3}\right) + \omega L \cos\left(\alpha + \frac{\pi}{3} - \frac{\pi}{3}\right) \right. \\ &\quad \left. + \left[R \sin\left(\alpha + \frac{\pi}{3}\right) - \omega L \cos\left(\alpha + \frac{\pi}{3}\right) \right] \left[1 - \exp\left(-\frac{R}{\omega L} \frac{\pi}{3}\right) \right] \right\} \\ &= \frac{V}{R^2 + \omega^2 L^2} \left\{ -R \sin \alpha + \omega L \cos \alpha \right. \\ &\quad \left. + \left[R \sin\left(\alpha + \frac{\pi}{3}\right) - \omega L \cos\left(\alpha + \frac{\pi}{3}\right) \right] \left[1 - \exp\left(-\frac{R}{\omega L} \frac{\pi}{3}\right) \right] \right\} \end{aligned}$$

$$i_0 = \frac{V}{R^2 + \omega^2 L^2} \left\{ \frac{-R \sin \alpha + \omega L \cos \alpha}{1 - \exp\left(-\frac{R}{\omega L} \frac{\pi}{3}\right)} + R \sin\left(\alpha + \frac{\pi}{3}\right) - \omega L \cos\left(\alpha + \frac{\pi}{3}\right) \right\}$$

連続導通の限界 $i_0 = 0$

$$\frac{-R \sin \alpha + \omega L \cos \alpha}{1 - \exp\left(-\frac{R}{\omega L} \frac{\pi}{3}\right)} + R \sin\left(\alpha + \frac{\pi}{3}\right) - \omega L \cos\left(\alpha + \frac{\pi}{3}\right) = 0$$

位相制御三相全波整流回路

- 誘導性負荷
 - 出力電流波形を求める
 - 連續導通の限界

$$\frac{-R \sin \alpha + \omega L \cos \alpha}{1 - \exp\left(-\frac{R}{\omega L} \frac{\pi}{3}\right)} + R \left[\sin \alpha \cos \frac{\pi}{3} + \cos \alpha \sin \frac{\pi}{3} \right] - \omega L \left[\cos \alpha \cos \frac{\pi}{3} - \sin \alpha \sin \frac{\pi}{3} \right] = 0$$

$$\frac{-R \sin \alpha + \omega L \cos \alpha}{1 - \exp\left(-\frac{R}{\omega L} \frac{\pi}{3}\right)} + R \left[\frac{1}{2} \sin \alpha + \frac{\sqrt{3}}{2} \cos \alpha \right] - \omega L \left[\frac{1}{2} \cos \alpha - \frac{\sqrt{3}}{2} \sin \alpha \right] = 0$$

$$\begin{aligned} & \sin \alpha \left\{ -R + \left(\frac{1}{2} R + \frac{\sqrt{3}}{2} \omega L \right) \left[1 - \exp\left(-\frac{R}{\omega L} \frac{\pi}{3}\right) \right] \right\} \\ & + \cos \alpha \left\{ \omega L + \left(\frac{\sqrt{3}}{2} R - \frac{1}{2} \omega L \right) \left[1 - \exp\left(-\frac{R}{\omega L} \frac{\pi}{3}\right) \right] \right\} = 0 \end{aligned}$$

$$\tan \alpha = \frac{\omega L + \left(\frac{\sqrt{3}}{2} R - \frac{1}{2} \omega L \right) \left[1 - \exp\left(-\frac{R}{\omega L} \frac{\pi}{3}\right) \right]}{R - \left(\frac{1}{2} R + \frac{\sqrt{3}}{2} \omega L \right) \left[1 - \exp\left(-\frac{R}{\omega L} \frac{\pi}{3}\right) \right]}$$

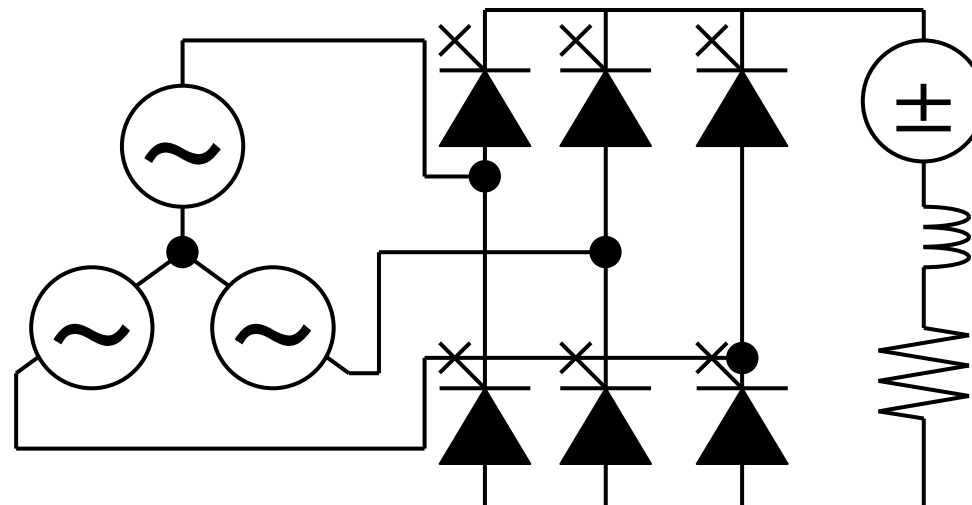
位相制御三相全波整流回路

- 誘導性負荷
 - 直流出力電圧平均値(連續導通)

$$\begin{aligned} E_d &= \frac{1}{2\pi} \int_0^{2\pi} e_d d\omega t \\ &= \frac{1}{2\pi} \left[\int_0^{\frac{\pi}{6}+\alpha} v_{cb} d\omega t + \int_{\frac{\pi}{6}+\alpha}^{\frac{\pi}{2}+\alpha} v_{ab} d\omega t + \int_{\frac{\pi}{2}+\alpha}^{\frac{5\pi}{6}+\alpha} v_{ac} d\omega t \right. \\ &\quad \left. + \int_{\frac{5\pi}{6}+\alpha}^{\frac{7\pi}{6}+\alpha} v_{bc} d\omega t + \int_{\frac{7\pi}{6}+\alpha}^{\frac{3\pi}{2}+\alpha} v_{ba} d\omega t + \int_{\frac{3\pi}{2}+\alpha}^{\frac{11\pi}{6}+\alpha} v_{ca} d\omega t + \int_{\frac{11\pi}{6}+\alpha}^{2\pi} v_{cb} d\omega t \right] \\ &= \frac{6}{2\pi} \int_{\frac{\pi}{6}+\alpha}^{\frac{\pi}{2}+\alpha} \sqrt{3}V \sin\left(\omega t + \frac{\pi}{6}\right) d\omega t \\ &= \frac{3\sqrt{3}V}{\pi} \left[-\cos\left(\omega t + \frac{\pi}{6}\right) \right]_{\frac{\pi}{6}+\alpha}^{\frac{\pi}{2}+\alpha} \\ &= \frac{3\sqrt{3}V}{\pi} \left[-\cos\left(\frac{\pi}{2} + \alpha + \frac{\pi}{6}\right) + \cos\left(\frac{\pi}{6} + \alpha + \frac{\pi}{6}\right) \right] \\ &= \frac{3\sqrt{3}V}{\pi} \cos \alpha \end{aligned}$$

位相制御三相全波整流回路

- 誘導負荷(直流電源付)
 - 逆変換動作を考える
 - 連續導通の条件で、点弧角を $\frac{\pi}{2} < \alpha < \pi$ とすると、直流出力端子電圧が負になる $E_d < 0$
 - サイリスタの電流導通方向(符号)は一定なので、電力の符号が反転 → 逆変換
 - 直流に電源を入れて、直流電源から交流側に電力を供給することを考える。



位相制御三相全波整流回路

- 誘導負荷(直流電源付)の逆変換動作
 - 微分方程式(正の半波導通状態)

$$v_{xx} = e_L + e_R + v_{dc} = L \frac{d}{dt} i_d + R i_d + v_{dc}$$

- オン時点の初期値

$$v_0 = \sqrt{3}V \sin\left(\alpha + \frac{\pi}{6} + \frac{\pi}{6}\right) \quad i_0 \neq 0$$

- ラプラス変換

$$\sqrt{3}V \sin\left(\omega t + \alpha + \frac{\pi}{3}\right) = L \frac{d}{dt} i_d + R i_d + v_{dc}$$

$$\sqrt{3}V \frac{\omega \cos\left(\alpha + \frac{\pi}{3}\right) + s \sin\left(\alpha + \frac{\pi}{3}\right)}{s^2 + \omega^2} = L s I_d - L i_0 + R I_d + \frac{v_{dc}}{s}$$

$$I_d = \sqrt{3}V \frac{\omega \cos\left(\alpha + \frac{\pi}{3}\right) + s \sin\left(\alpha + \frac{\pi}{3}\right)}{s^2 + \omega^2} \frac{1}{Ls + R} + \frac{L i_0}{Ls + R} - \frac{v_{dc}}{s} \frac{1}{Ls + R}$$

位相制御三相全波整流回路

- 誘導性負荷(直流電源付)の逆変換動作
- 出力電流波形を求める

$$I_d = \frac{\sqrt{3}V}{R^2 + \omega^2 L^2} \left\{ \frac{[R \cos(\alpha + \frac{\pi}{3}) + \omega L \sin(\alpha + \frac{\pi}{3})] \omega + [R \sin(\alpha + \frac{\pi}{3}) - \omega L \cos(\alpha + \frac{\pi}{3})] s}{s^2 + \omega^2} - \frac{R \sin(\alpha + \frac{\pi}{3}) - \omega L \cos(\alpha + \frac{\pi}{3})}{s + \frac{R}{L}} \right\} + \frac{i_0}{s + \frac{R}{L}} - \frac{v_{dc}}{R} \left(\frac{1}{s} - \frac{1}{s + \frac{R}{L}} \right)$$

• 逆変換

$$\begin{aligned} i_d(\omega t) = & \frac{\sqrt{3}V}{R^2 + \omega^2 L^2} \left\{ [R \cos(\alpha + \frac{\pi}{3}) + \omega L \sin(\alpha + \frac{\pi}{3})] \sin \omega t \right. \\ & + [R \sin(\alpha + \frac{\pi}{3}) - \omega L \cos(\alpha + \frac{\pi}{3})] \cos \omega t \\ & - [R \sin(\alpha + \frac{\pi}{3}) - \omega L \cos(\alpha + \frac{\pi}{3})] \exp\left(-\frac{R}{L}t\right) \Big\} + i_0 \exp\left(-\frac{R}{L}t\right) \\ & - \frac{v_{dc}}{R} \left[1 - \exp\left(-\frac{R}{L}t\right) \right] \end{aligned}$$

• 時間の原点を元に戻して

$$\begin{aligned} i_d(\omega t) = & \frac{\sqrt{3}V}{R^2 + \omega^2 L^2} \left\{ [R \cos(\alpha + \frac{\pi}{3}) + \omega L \sin(\alpha + \frac{\pi}{3})] \sin\left(\omega t - \alpha - \frac{\pi}{6}\right) \right. \\ & + [R \sin(\alpha + \frac{\pi}{3}) - \omega L \cos(\alpha + \frac{\pi}{3})] \cos\left(\omega t - \alpha - \frac{\pi}{6}\right) \\ & - [R \sin(\alpha + \frac{\pi}{3}) - \omega L \cos(\alpha + \frac{\pi}{3})] \exp\left[-\frac{R}{\omega L}(\omega t - \alpha - \frac{\pi}{6})\right] \Big\} \\ & + i_0 \exp\left[-\frac{R}{\omega L}(\omega t - \alpha - \frac{\pi}{6})\right] - \frac{v_{dc}}{R} \left\{ 1 - \exp\left[-\frac{R}{\omega L}(\omega t - \alpha - \frac{\pi}{6})\right] \right\} \end{aligned}$$

位相制御三相全波整流回路

- 誘導性負荷(直流電源付)の逆変換動作
 - 連続導通の時の電流初期値

$$\begin{aligned} i_d\left(\alpha + \frac{\pi}{3} + \frac{\pi}{6}\right) &= \frac{\sqrt{3}V}{R^2 + \omega^2 L^2} \left\{ [R \cos(\alpha + \frac{\pi}{3}) + \omega L \sin(\alpha + \frac{\pi}{3})] \sin\left(\alpha + \frac{\pi}{3} + \frac{\pi}{6} - \alpha - \frac{\pi}{6}\right) \right. \\ &\quad + [R \sin(\alpha + \frac{\pi}{3}) - \omega L \cos(\alpha + \frac{\pi}{3})] \cos\left(\alpha + \frac{\pi}{3} + \frac{\pi}{6} - \alpha - \frac{\pi}{6}\right) \\ &\quad - [R \sin(\alpha + \frac{\pi}{3}) - \omega L \cos(\alpha + \frac{\pi}{3})] \exp\left[-\frac{R}{\omega L}(\alpha + \frac{\pi}{3} + \frac{\pi}{6} - \alpha - \frac{\pi}{6})\right] \} \\ &\quad + i_0 \exp\left[-\frac{R}{\omega L}(\alpha + \frac{\pi}{3} + \frac{\pi}{6} - \alpha - \frac{\pi}{6})\right] - \frac{v_{dc}}{R} \left\{ 1 - \exp\left[-\frac{R}{\omega L}(\alpha + \frac{\pi}{3} + \frac{\pi}{6} - \alpha - \frac{\pi}{6})\right] \right\} \\ &= \frac{\sqrt{3}V}{R^2 + \omega^2 L^2} \left\{ [R \cos(\alpha + \frac{\pi}{3}) + \omega L \sin(\alpha + \frac{\pi}{3})] \sin \frac{\pi}{3} \right. \\ &\quad + [R \sin(\alpha + \frac{\pi}{3}) - \omega L \cos(\alpha + \frac{\pi}{3})] \cos \frac{\pi}{3} \\ &\quad - [R \sin(\alpha + \frac{\pi}{3}) - \omega L \cos(\alpha + \frac{\pi}{3})] \exp\left(-\frac{R}{\omega L} \frac{\pi}{3}\right) \} \\ &\quad + i_0 \exp\left(-\frac{R}{\omega L} \frac{\pi}{3}\right) - \frac{v_{dc}}{R} \left[1 - \exp\left(-\frac{R}{\omega L} \frac{\pi}{3}\right) \right] \\ &= i_0 \end{aligned}$$

位相制御三相全波整流回路

- 誘導性負荷(直流電源付)の逆変換動作
 - 連続導通の時の電流初期値

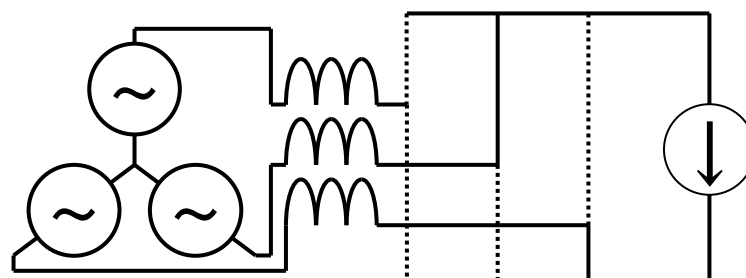
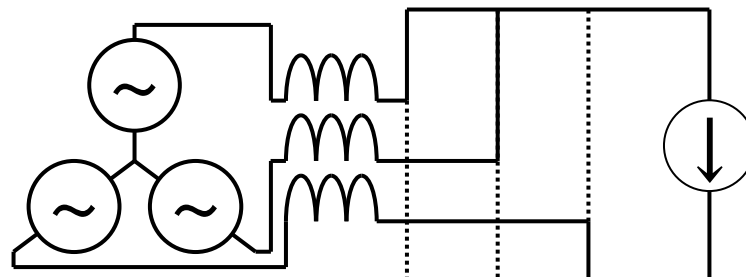
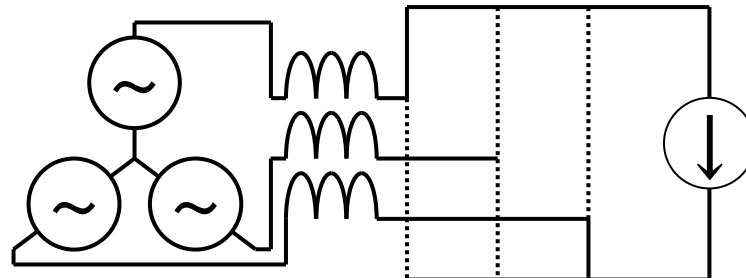
$$\begin{aligned}
 i_0 [1 - \exp\left(-\frac{R}{\omega L} \frac{\pi}{3}\right)] &= \frac{\sqrt{3}V}{R^2 + \omega^2 L^2} \left\{ -R \sin\left(\alpha + \frac{\pi}{3} - \frac{\pi}{3}\right) + \omega L \cos\left(\alpha + \frac{\pi}{3} - \frac{\pi}{3}\right) \right. \\
 &\quad \left. + [R \sin\left(\alpha + \frac{\pi}{3}\right) - \omega L \cos\left(\alpha + \frac{\pi}{3}\right)] [1 - \exp\left(-\frac{R}{\omega L} \frac{\pi}{3}\right)] \right\} \\
 &\quad - \frac{v_{dc}}{R} [1 - \exp\left(-\frac{R}{\omega L} \frac{\pi}{3}\right)] \\
 &= \frac{\sqrt{3}V}{R^2 + \omega^2 L^2} \left\{ -R \sin \alpha + \omega L \cos \alpha \right. \\
 &\quad \left. + [R \sin\left(\alpha + \frac{\pi}{3}\right) - \omega L \cos\left(\alpha + \frac{\pi}{3}\right)] [1 - \exp\left(-\frac{R}{\omega L} \frac{\pi}{3}\right)] \right\} \\
 &\quad - \frac{v_{dc}}{R} [1 - \exp\left(-\frac{R}{\omega L} \frac{\pi}{3}\right)]
 \end{aligned}$$

よって $i_0 = \frac{\sqrt{3}V}{R^2 + \omega^2 L^2} \left\{ \frac{-R \sin \alpha + \omega L \cos \alpha}{1 - \exp\left(-\frac{R}{\omega L} \frac{\pi}{3}\right)} + [R \sin\left(\alpha + \frac{\pi}{3}\right) - \omega L \cos\left(\alpha + \frac{\pi}{3}\right)] \right\} - \frac{v_{dc}}{R}$

V_{dc} を負にすれば、 $\tan \alpha \leq \frac{\omega L + \left(\frac{\sqrt{3}}{2}R - \frac{1}{2}\omega L\right)[1 - \exp\left(-\frac{R}{\omega L} \frac{\pi}{3}\right)]}{R - \left(\frac{1}{2}R + \frac{\sqrt{3}}{2}\omega L\right)[1 - \exp\left(-\frac{R}{\omega L} \frac{\pi}{3}\right)]}$ の制約を考えなくてよぐなる⁴⁷

位相制御三相全波整流回路

- 転流重なり角



位相制御三相全波整流回路

- 転流重なり角
 - 交流電源の内部インピーダンスを考慮
 - 簡略化のための仮定
 - 転流期間中直流電流を一定
 - 電源インピーダンスとしてリアクタンス成分のみ考える
 - 転流期間をu
 - 点弧により、交流側三相のうち二相が短絡される
 - 回路ず
 - Th1点弧時にac相が短絡される
 - 回路の微分方程式

$$\begin{cases} e_d = v_a - L_{ac} \frac{d}{dt} i_a - v_b + L_{ac} \frac{d}{dt} i_b \\ e_d = v_c - L_{ac} \frac{d}{dt} i_c - v_b + L_{ac} \frac{d}{dt} i_b \end{cases}$$

位相制御三相全波整流回路

- 転流重なり角
 - 交流電源の内部インピーダンスを考慮
 - 回路の微分方程式

$$i_b = i_{dc} \quad \text{直流電流一定の仮定} \quad \frac{d}{dt} i_b = 0 \quad i_a + i_c = i_{dc}$$

$$\begin{cases} e_d = v_a - L_{ac} \frac{d}{dt} i_a - v_b \\ e_d = v_c - L_{ac} \frac{d}{dt} (i_{dc} - i_a) - v_b = v_c + L_{ac} \frac{d}{dt} i_a - v_b \end{cases}$$

$$v_a - L_{ac} \frac{d}{dt} i_a - v_b = v_c + L_{ac} \frac{d}{dt} i_a - v_b$$

$$2L_{ac} \frac{d}{dt} i_a = v_a - v_c$$

$$\frac{d}{dt} i_a = \frac{1}{2L_{ac}} v_{ac} \qquad \qquad v_{ac} = \sqrt{3}V \sin\left(\omega t - \frac{\pi}{6}\right)$$

$$= \frac{\sqrt{3}V}{2L_{ac}} \sin\left(\omega t - \frac{\pi}{6}\right)$$

$$i_a = i_{a0} - \frac{\sqrt{3}V}{2\omega L_{ac}} \cos\left(\omega t - \frac{\pi}{6}\right)$$

位相制御三相全波整流回路

- 転流重なり角
 - 交流電源の内部インピーダンスを考慮
 - 回路の微分方程式
 - » Th1に点弧信号を与えたときの初期条件

$$i_a\left(\alpha + \frac{\pi}{6}\right) = 0 \quad i_c\left(\alpha + \frac{\pi}{6}\right) = i_{dc}$$

$$0 = i_{a0} - \frac{\sqrt{3}V}{2\omega L_{ac}} \cos\left(\alpha + \frac{\pi}{6} - \frac{\pi}{6}\right)$$
$$i_{a0} = \frac{\sqrt{3}V}{2\omega L_{ac}} \cos \alpha$$

» 転流中におけるTh1電流の応答

$$i_a = \frac{\sqrt{3}V}{2\omega L_{ac}} \cos \alpha - \frac{\sqrt{3}V}{2\omega L_{ac}} \cos\left(\omega t - \frac{\pi}{6}\right)$$
$$= \frac{\sqrt{3}V}{2\omega L_{ac}} \left[\cos \alpha - \cos\left(\omega t - \frac{\pi}{6}\right) \right]$$

位相制御三相全波整流回路

- 転流重なり角
 - 交流電源の内部インピーダンスを考慮
 - 回路の微分方程式

» 転流重なり角を u とすると、転流終了時の条件

$$\begin{aligned} i_a \left(\alpha + \frac{\pi}{6} + u \right) &= \frac{\sqrt{3}V}{2\omega L_{ac}} \left[\cos \alpha - \cos \left(\alpha + \frac{\pi}{6} + u - \frac{\pi}{6} \right) \right] \\ &= \frac{\sqrt{3}V}{2\omega L_{ac}} \left[\cos \alpha - \cos(\alpha + u) \right] \\ &= i_{dc} \end{aligned}$$

$$\cos(\alpha + u) = \cos \alpha - \frac{2\omega L_{ac}}{\sqrt{3}V} i_{dc}$$

» 転流中において直流側に現れる電圧

$$\begin{aligned} e_d &= v_a - L_{ac} \frac{d}{dt} i_a - v_b \\ &= v_{ab} - L_{ac} \frac{1}{2L_{ac}} v_{ac} \\ &= v_{ab} - \frac{1}{2} v_{ac} \end{aligned}$$

位相制御三相全波整流回路

- 誘導性負荷
 - 交流電源の内部インピーダンスによる転流重なり角 u を考慮

$$\begin{aligned} E_d &= \frac{1}{2\pi} \int_0^{2\pi} e_d d\omega t = \frac{6}{2\pi} \int_{\frac{\pi}{6}+\alpha}^{\frac{\pi}{2}+\alpha} e_d d\omega t \\ &= \frac{3}{\pi} \left\{ \int_{\frac{\pi}{6}+\alpha}^{\frac{\pi}{6}+\alpha+u} \left(v_{ab} - \frac{1}{2} v_{ac} \right) d\omega t + \int_{\frac{\pi}{6}+\alpha+u}^{\frac{\pi}{2}+\alpha} v_{ab} d\omega t \right\} \\ &= \frac{3}{\pi} \left\{ \int_{\frac{\pi}{6}+\alpha}^{\frac{\pi}{2}+\alpha} v_{ab} d\omega t - \frac{1}{2} \int_{\frac{\pi}{6}+\alpha}^{\frac{\pi}{6}+\alpha+u} v_{ac} d\omega t \right\} \\ &= \frac{3}{\pi} \left\{ \int_{\frac{\pi}{6}+\alpha}^{\frac{\pi}{2}+\alpha} \sqrt{3}V \sin\left(\omega t + \frac{\pi}{6}\right) d\omega t - \frac{1}{2} \int_{\frac{\pi}{6}+\alpha}^{\frac{\pi}{6}+\alpha+u} \sqrt{3}V \sin\left(\omega t - \frac{\pi}{6}\right) d\omega t \right\} \\ &= \frac{3\sqrt{3}V}{\pi} \left\{ \int_{\frac{\pi}{6}+\alpha}^{\frac{\pi}{2}+\alpha} \sin\left(\omega t + \frac{\pi}{6}\right) d\omega t - \frac{1}{2} \int_{\frac{\pi}{6}+\alpha}^{\frac{\pi}{6}+\alpha+u} \sin\left(\omega t - \frac{\pi}{6}\right) d\omega t \right\} \\ &= \frac{3\sqrt{3}V}{\pi} \left\{ \left[-\cos\left(\omega t + \frac{\pi}{6}\right) \right]_{\frac{\pi}{6}+\alpha}^{\frac{\pi}{2}+\alpha} - \frac{1}{2} \left[-\cos\left(\omega t - \frac{\pi}{6}\right) \right]_{\frac{\pi}{6}+\alpha}^{\frac{\pi}{6}+\alpha+u} \right\} \end{aligned}$$

位相制御三相全波整流回路

- 誘導性負荷
 - 交流電源の内部インピーダンスによる転流重なり角 u を考慮

$$\begin{aligned}E_d &= \frac{3\sqrt{3}V}{\pi} \left\{ -\cos\left(\frac{\pi}{2} + \alpha + \frac{\pi}{6}\right) + \cos\left(\frac{\pi}{6} + \alpha + \frac{\pi}{6}\right) \right. \\&\quad \left. - \frac{1}{2} \left[-\cos\left(\frac{\pi}{6} + \alpha + u - \frac{\pi}{6}\right) + \cos\left(\frac{\pi}{6} + \alpha - \frac{\pi}{6}\right) \right] \right\} \\&= \frac{3\sqrt{3}V}{\pi} \left\{ -\cos\left(\alpha + \frac{2}{3}\pi\right) + \cos\left(\alpha + \frac{\pi}{3}\right) - \frac{1}{2} \left[-\cos(\alpha + u) + \cos\alpha \right] \right\} \\&= \frac{3\sqrt{3}V}{\pi} \left\{ \cos\alpha - \frac{1}{2} \frac{2\omega L_{ac}}{\sqrt{3}V} i_{dc} \right\} \\&= \frac{3\sqrt{3}V}{\pi} \cos\alpha - \frac{3\omega L_{ac}}{\pi} i_{dc}\end{aligned}$$

電源インピーダンスにより出力直流電圧は $\frac{3\omega L_{ac}}{\pi} i_{dc}$ 低下する

転流インピーダンス(リアクタンス)降下という